

# Processzorütemezés

Iványi Antal

2010. március 23.

# Tartalomjegyzék

<b>1. A determinisztikus ütemezés alapfogalmai</b>	<b>3</b>
1.1. Bevezetés . . . . .	3
1.2. Ütemezési probléma . . . . .	4
1.2.1. Erőforrásrendszer . . . . .	4
1.2.2. Taszkrendszer . . . . .	4
1.2.3. Teljesítménymértékek . . . . .	5
<b>2. Egyprocesszoros eredmények</b>	<b>8</b>
2.1. Bevezetés . . . . .	8
2.2. Átlagos jellemzők . . . . .	9
2.3. Maximális jellemzők . . . . .	11
2.4. Minimális jellemzők . . . . .	12
2.5. Egyprocesszoros eredmények összefoglalása . . . . .	14
<b>3. Maximális befejezési idő minimalizálása</b>	<b>16</b>
3.1. Bevezetés . . . . .	16
3.2. Fastruktúrájú taszkrendszerek . . . . .	16
3.3. Taszkrendszerek végrehajtása két processzoron . . . . .	22
3.4. Független feladatok . . . . .	28
3.5. Ütemezési anomáliák I. . . . .	31
3.6. Ütemezési anomáliák II. . . . .	35

# 1. A determinisztikus ütemezés alapfogalmai

## 1.1. Bevezetés

A termelés különböző területein gyakran jelentkezik a következő feladat: adott munkákat kell elvégezni adott eszközök felhasználásával, adott korlátozó feltételek betartása mellett, adott értelemben optimumra törekedve. Az ilyen típusú feladatok jelentősége a nagy értékű termelőeszközök, bonyolult termelési folyamatok terjedésével együtt nő. Ezen feladatkör kutatása nagy lendületet kapott a számítógépek elterjedésével, mivel a gyors műveletvégzési lehetőség kiszélesítette a reális idő alatt megoldható feladatok körét.

A témakör fontosságát mutatja, hogy az összegyűlt ismeretek egy része *ütemezés elmélet* (scheduling theory) néven a számítástudomány önálló ágává fejlődött. Az operációs rendszerekkel kapcsolatos, tipikus ütemezési feladat: kötegelt programfeldolgozás esetén az adott perifériákat adott ideig használó, egymástól független programokból álló köteg minimális idő alatt való futtatása adott konfigurációjú számítógépen. Másik tipikus feladat egymáshoz adott módon kapcsolódó alprogramokból álló program futtatása egyprocesszoros számítógépen vagy több processzort tartalmazó hálózatban.

Ebben a jegyzetben az elvégzendő munkákat (például lefuttatandó programokat) *taszkoknak* vagy *feladatoknak*<sup>1</sup>, a rendelkezésre álló eszközöket (például processzorokat, perifériákat) *erőforrásoknak* fogjuk nevezni.

Ha a feladatok és erőforrások jellemző adatai rögzített (rendszerint előre ismert) értékek, akkor *determinisztikus ütemezésről* beszélünk. A nemdeterminisztikus ütemezésben gyakori, hogy a nem rögzített paraméterek eloszlásfüggvényeikkel adottak. Ilyenkor a feladatok végrehajtását jellemző mennyiség várható értékének optimalizálása a tipikus cél.

Ebben a jegyzetben csak a determinisztikus ütemezéssel foglalkozunk. Először összefoglaljuk az alapfogalmakat, alapvető ismereteket (1. fejezet), majd a legegy-

---

<sup>1</sup>Az angol nyelvű szakirodalom a *task* szót használja.

szerűbb egyprocesszoros eredményeket ismertetjük (2. fejezet). Ezután a maximális befejezési idő és az átlagos befejezési idő optimalizálásával foglalkozunk (3. fejezet). Külön részben foglalkozunk a különböző ütemezési algoritmusok összehasonlításával (4. fejezet).

## 1.2. Ütemezési probléma

A  $\pi = (\rho, \tau, \mu)$  ütemezési probléma egy hármast, melynek elemei a  $\rho$  erőforrásrendszer, a  $\tau$  taszkrendszer és a  $\mu$  teljesítménymérték.

### 1.2.1. Erőforrásrendszer

A taszkok egy részének végrehajtásához egyféle erőforrás elegendő. Ezeket az erőforrásokat *processzoroknak* nevezzük:  $m$ -mel jelöljük a processzorok számát,  $\mathbf{P} = \{P_1, \dots, P_m\}$ -mel pedig a processzorok halmazát, illetve az egyes processzorokat.

Ha a  $P_i$  és  $P_j \in \mathbf{P}$  processzorokon végrehajtható feladatok halmazai különbözőek, akkor azt mondjuk, hogy  $P_i$  és  $P_j$  *különböző* processzorok. Ha két processzoron ugyanazok a taszkok hajthatók végre, de a végrehajtási idők nem minden taszkra azonosak, akkor *különböző sebességű* processzorokról beszélünk. Ha két processzoron ugyanazok a taszkok hajthatók végre, és a végrehajtási idők is megegyeznek, akkor a processzorok *azonosak*.

Általános esetben a processzorokon kívül további, úgynevezett *kiegészítő erőforrásokra* is szükség van. Ezek típusainak számát jelöljük  $s$ -sel, a típusok halmazát, illetve az egyes típusokat  $\mathbf{R} = \{R_1, \dots, R_s\}$ -sel, továbbá jelölje az  $\mathbf{r} = (r_1, \dots, r_s)$  vektor az egyes kiegészítő erőforrás típusokból rendelkezésre álló mennyiségeket.

A  $\rho = (\mathbf{P}, \mathbf{R}, \mathbf{r})$  rendezett hármast nevezzük *erőforrásrendszernek*.

### 1.2.2. Taszkrendszer

A taszkok legfontosabb tulajdonságai rendszerint leírhatók a következő jelölések segítségével. Adott  $\rho = (\mathbf{P}, \mathbf{R}, \mathbf{r})$  erőforrásrendszerre vonatkozó taszkrendszer egy  $\tau = (\mathbf{T}, <, [t_{ij}], [r_{ik}], \mathbf{b}, \mathbf{d}, \mathbf{p})$  hetes, ahol

**1.**  $\mathbf{T} = \{T_1, \dots, T_n\}$  a végrehajtandó taszkok halmaza,

**2.**  $<$  egy a  $\mathbf{T}$  halmazon értelmezett tranzitív, irreflexív, aszimmetrikus bináris reláció ( $< \subseteq \mathbf{T} \times \mathbf{T}$ ).

Ha  $T_i, T_j \in \mathbf{T}$ , akkor  $T_i < T_j$  azt jelenti, hogy  $T_i$  végrehajtását be kell fejezni, mielőtt  $T_j$  végrehajtását elkezdenénk. Ilyenkor azt mondjuk, hogy  $T_i$  megelőzi  $T_j$ -t.  $<$ -t a taszkrendszer *megelőzési relációjának* hívjuk.

Ha sem  $T_i < T_j$ , sem  $T_j < T_i$  nem teljesül, akkor azt mondjuk, hogy  $T_i$  és  $T_j$  függetlenek egymástól. Ha egy adott időpontban minden olyan  $T_k$  feladatot végrehajtottunk, amelyre  $T_k < T_i$ , és a  $T_i$  végrehajtásához szükséges erőforrások rendelkezésre állnak, akkor  $T_i$  az adott időpontban *végrehajtható* (végrehajtása megkezdhető). A megelőzési reláció gyakran előforduló példái: lánc, fa és független taszkok.

3.  $[t_{ij}]$  a *végrehajtási idők* mátrixa:  $t_{ij}$  ( $1 \leq i \leq n$ ,  $1 \leq j \leq m$ ) azt az időt jelenti, amely alatt  $T_i$  végrehajtható  $P_j$ -n. Annak szokásos jelölése, hogy  $T_i$  nem hajtható végre  $P_j$ -n:  $t_{ij} = \infty$ . Általában feltesszük, hogy a mátrix minden eleme pozitív (a taszkok végrehajtásához minden processzoron időre van szükség), és a mátrix minden sorában van véges érték (minden taszk legalább egy processzoron végrehajtható). Ha a processzorok azonosak, akkor  $t_{i1} = t_{i2} = \dots = t_{im}$  ( $i = 1, 2, \dots, n$ ). Ilyenkor  $T_i$  végrehajtási idejét egyszerűen  $t_i$ -vel jelöljük (és végrehajtási idők  $[t_{ij}]$  mátrixa helyett végrehajtási idők  $\mathbf{t}$  vektora szerepel  $\tau$ -ban).
4.  $[r_{ik}]$  a *kiegészítő erőforrásokra vonatkozó igények* mátrixa:  $r_{ik}$  ( $1 \leq i \leq n$ ,  $1 \leq k \leq s$ ) azt adja meg, hogy a  $T_i$  taszk végrehajtásához az  $R_k$  erőforrástípusból hány egységre van szükség (a végrehajtás egész időtartamára). Általában feltesszük, hogy  $r_{ik} \leq r_k$  ( $1 \leq i \leq n$ ,  $1 \leq k \leq s$ ) teljesül, azaz a taszkok erőforrásigénye kielégíthető. Ha  $s = 0$ , akkor ezzel a mátrixszal nem kell foglalkozni.
5.  $\mathbf{b} = (b_1, \dots, b_n)$  a *belépési időpontok* vektora:  $b_i$  jelenti azt az időpontot, amely előtt  $T_i$  végrehajtása nem kezdhető el.
6.  $\mathbf{d} = (d_1, \dots, d_n)$  a *határidők* vektora:  $d_i$  jelenti azt az időpontot, ameddig a  $T_i$  taszk végrehajtását be kell fejezni. A határidők lehetnek *szigorúak*, illetve *ajánlottak*. Szigorú határidő esetén csak a taszkok olyan végrehajtása fogadható el, amely biztosítja a határidők betartását, míg az ajánlott határidők túllépése megengedett (bár a túllépésnek hátrányos következményei lehetnek).
7.  $\mathbf{p} = (p_1, \dots, p_n)$  a *súlyok* vektora:  $p_i$  a  $T_i$  taszk fontosságát jellemzi (a teljesítménymértékek értékén keresztül befolyásolja a taszkok végrehajtását).

### 1.2.3. Teljesítménymértékek

A taszkok jellemzőit két csoportba oszthatjuk: az egyik csoportba tartozók (mint  $b_i, d_i, p_i, t_{ij}, r_{ik}$ ) az ütemezés elkészítésekor ismert, állandó értékek — a másik csoportba tartozók pedig az ütemezés elkészítése során kapják meg az értéküket (attól

függ az értékük, hogy milyen ütemezést választunk):

Az ütemezést  $S$ -sel jelölve vezessük be a következő jelöléseket:

$s_i(S)$	a $T_i$ taszk kezdési időpontja
$f_i(S)$	a $T_i$ taszk befejezési időpontja
$w_i(S) = s_i(S) - b_i$	a $T_i$ taszk várakozási ideje
$n_i(S) = f_i(S) - d_i$	a $T_i$ taszk pontatlansága
$l_i(S) = \max(n_i(S), 0)$	a $T_i$ taszk késése

Ezen ütemezéstől függő taszkjellemzők segítségével fogjuk megadni a  $\mu = \{F_{\max}, F_{\min}, F_{\text{av}}, W_{\max}, W_{\min}, W_{\text{av}}, N_{\max}, N_{\min}, N_{\text{av}}, L_{\max}, L_{\min}, L_{\text{av}}, E_{\max}, E_{\min}, E_{\text{av}}, A_{\max}, A_{\min}, A_{\text{av}}\}$  teljesítménymértékeket (amelyek az ütemezést jellemzik). Pontosabban csak  $F_{\dots}$ ,  $W_{\dots}$ ,  $N_{\dots}$  és  $L_{\dots}$  származik közülük a fenti taszkjellemzőkből,  $E_{\dots}$  és  $A_{\dots}$  pedig rendre az  $E(S, t) = |\{T_i : f_i(S) > t\}|$  ( $S$  ütemezés mellett a  $t$  időpontban befejezetlen taszkok száma), illetve az  $A(S, t) = \sum_{1 \leq i \leq n, f_i(S) > t} p_i$  ( $S$  ütemezés mellett a  $t$  időpontban befejezetlen taszkok súlyainak összege) jellemzőkből származnak.

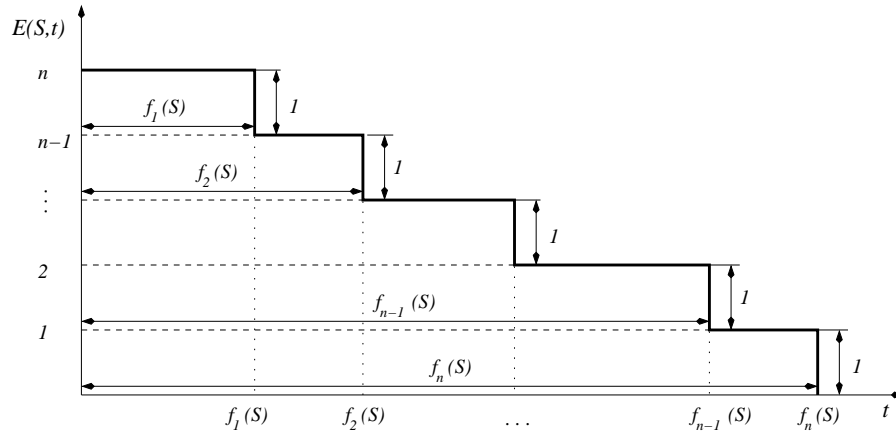
A teljesítménymértékek indexe azt jelöli, hogy maximális, minimális avagy súlyozott átlagos jellemzőről van-e szó (a taszkjellemzők közül a maximális, minimális, illetve súlyokkal számolt átlagos érték). Tehát például  $F_{\max}$  a maximális befejezési idő,  $F_{\min}$  a minimális befejezési idő,  $F_{\text{av}}$  pedig a súlyozott átlagos befejezési idő. (Hasonlóan  $W_{\dots}$  a várakozási idő,  $N_{\dots}$  a pontatlanság,  $L_{\dots}$  pedig a késés taszkonként vett maximuma, minimuma, illetve súlyozott átlaga.) Az  $E_{\dots}$  és  $A_{\dots}$  jellemzők természetesen nem taszkonként vett maximumot, minimumot, illetve átlagot adnak meg, hanem idő szerintit, ahogy az az alábbi összefoglaló táblázatban látható:

$F_{\max}(S) = \max_{1 \leq i \leq n} f_i(S)$	$F_{\min}(S) = \min_{1 \leq i \leq n} f_i(S)$	$F_{\text{av}}(S) = \frac{1}{n} \sum_{i=1}^n p_i f_i(S)$
$W_{\max}(S) = \max_{1 \leq i \leq n} w_i(S)$	$W_{\min}(S) = \min_{1 \leq i \leq n} w_i(S)$	$W_{\text{av}}(S) = \frac{1}{n} \sum_{i=1}^n p_i w_i(S)$
$N_{\max}(S) = \max_{1 \leq i \leq n} n_i(S)$	$N_{\min}(S) = \min_{1 \leq i \leq n} n_i(S)$	$N_{\text{av}}(S) = \frac{1}{n} \sum_{i=1}^n p_i n_i(S)$
$L_{\max}(S) = \max_{1 \leq i \leq n} l_i(S)$	$L_{\min}(S) = \min_{1 \leq i \leq n} l_i(S)$	$L_{\text{av}}(S) = \frac{1}{n} \sum_{i=1}^n p_i l_i(S)$
$E_{\max}(S) = \max_{0 \leq t \leq F_{\max}(S)} E(S, t)$	$E_{\min}(S) = \min_{0 \leq t \leq F_{\max}(S)} E(S, t)$	$E_{\text{av}}(S) = \frac{1}{F_{\max}(S)} \int_0^{F_{\max}(S)} E(S, t) dt$
$A_{\max}(S) = \max_{0 \leq t \leq F_{\max}(S)} A(S, t)$	$A_{\min}(S) = \min_{0 \leq t \leq F_{\max}(S)} A(S, t)$	$A_{\text{av}}(S) = \frac{1}{F_{\max}(S)} \int_0^{F_{\max}(S)} A(S, t) dt$

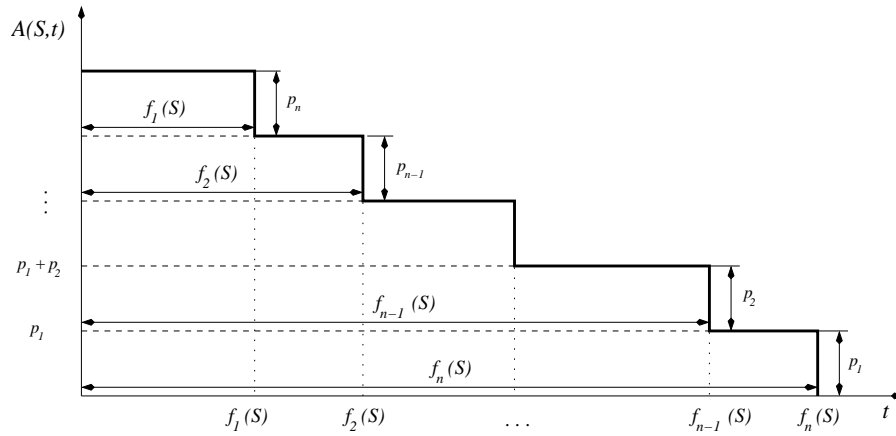
### Megjegyzés:

1.  $E_{\max}(S) = E(S, 0) = n$ ,  
 $A_{\max}(S) = A(S, 0) = \sum_{i=1}^n p_i$ ,

2.  $E_{\min}(S) = E(S, F_{\max}(S)) = 0,$   
 $A_{\min}(S) = A(S, F_{\max}(S)) = 0,$
3.  $E_{\text{av}}(S) = \frac{1}{F_{\max}(S)} \sum_{i=1}^n f_i(S)$  (lásd 1.1. ábra),  
 $A_{\text{av}}(S) = \frac{1}{F_{\max}(S)} \sum_{i=1}^n p_i f_i(S)$  (lásd 1.2. ábra).



1.1. ábra.  $\int_0^{F_{\max}(S)} E(S, t) dt$  kiszámítása



1.2. ábra.  $\int_0^{F_{\max}(S)} A(S, t) dt$  kiszámítása

## 2. Egyprocesszoros eredmények

### 2.1. Bevezetés

Ebben a fejezetben viszonylag egyszerű ütemezési problémákat vizsgálunk, melyekben egyetlen mohó és oszthatatlan processzor van ( $m = 1$ ), kiegészítő erőforrás nincs ( $s = 0$ ), a feladatok függetlenek ( $<$  üres), és a taszkok végrehajtása nem szakítható meg. A taszkokhoz ajánlott határidők tartoznak, listát nem alkalmazunk.

A vizsgált ütemezési problémák közös formalizált leírása ezért a következő alakra egyszerűsödik:  $\pi = (\rho, \tau, \mu)$ ,  $\rho = (\mathbf{P})$ ,  $\mathbf{P} = \{P_1\}$ ,  $\tau = (\mathbf{T}, \mathbf{t}, \mathbf{d}, \mathbf{p})$ ,  $\mathbf{T} = (T_1, \dots, T_n)$ ,  $\mathbf{t} = (t_1, \dots, t_n)$ ,  $\mathbf{d} = (d_1, \dots, d_n)$ ,  $\mathbf{p} = (p_1, \dots, p_n)$ . Továbbá — mivel egyetlen mohó és oszthatatlan processzor van, és csak megszakítás nélküli algoritmusok jöhetnek szóba, ezért — az ütemezés a taszkok egy permutációjának kiválasztását jelenti.

Ezen feltevések mellett a minimális várakozási idő a taszkok végrehajtási sorrendjétől függetlenül nulla ( $W_{\min}(S) = 0$ ,  $\forall S$ -re). Ugyancsak a sorrendtől független a maximális befejezési idő:  $F_{\max}(S) = \sum_{i=1}^n t_i$  mind az  $n!$  permutációra.

$F_{\min}$  akkor és csak akkor lesz minimális, ha a taszkok végrehajtását a legkisebb végrehajtási idejű taszkkal kezdjük, míg  $F_{\min}$  maximális értéke a legnagyobb végrehajtási idejű taszkkal való kezdés esetén érhető el.

A maximális várakozási idő az utoljára végrehajtott taszk jó megválasztásával befolyásolható: a végrehajtást a legkisebb végrehajtási idejű taszkkal befejezve  $W_{\max}$  maximális lesz, míg a legnagyobb végrehajtási idejű taszkkal befejezve minimális lesz.

**Jelölések.** A továbbiakban az „a taszkokat a  $\beta_i$  szerint növekvő sorrendben hajtjuk végre” kifejezés helyett a „ $\beta_i \nearrow$ ” jelölést, az „akkor és csak akkor, ha” kifejezés helyett pedig a „ $\Leftrightarrow$ ” jelölést is használjuk. Értelemszerű jelentéssel a „ $\beta_i \searrow$ ”, „ $\Rightarrow$ ” és „ $\Leftarrow$ ” jelöléseket is alkalmazzuk. Az adott ütemezés szerint  $j$ -ként végrehajtott feladat indexét pedig  $i_j$ -vel ( $j = 1, \dots, n$ ) jelöljük. Végül a „ $\mu$  maximális” és „ $\mu$  minimális” rövidítésére a „ $\mu \uparrow$ ”, illetve „ $\mu \downarrow$ ” jelölések szolgálnak.

Ezekkel a jelölésekkel például az  $F_{\min}$ -re vonatkozó állítások röviden így írhatók fel:  $F_{\min} \downarrow \Leftrightarrow t_{i_1} = \min_{1 \leq i \leq n} t_i$ , illetve  $F_{\min} \uparrow \Leftrightarrow t_{i_1} = \max_{1 \leq i \leq n} t_i$ .



A következő három alfejezetben néhány átlagos, maximális, illetve minimális jellemző szélsőértékeinek elérését biztosító feltételt adunk meg.

## 2.2. Átlagos jellemzők

Az átlagos súlyozott befejezési idő, várakozási idő és pontatlanság szélsőértékei a  $\frac{t_i}{p_i}$  szerint rendezett permutációkhoz tartoznak.

**2.1. tétel.**  $F_{av}$ ,  $N_{av}$  és  $W_{av}$  akkor és csak akkor lesz minimális (maximális), ha a taszkokat  $\frac{t_{i_j}}{p_{i_j}}$  szerint növekvő (csökkenő) sorrendben hajtjuk végre.

Ennek az állításnak tömör írásmódja:

$$F_{av}, N_{av}, W_{av} \downarrow \Leftrightarrow \frac{t_{i_j}}{p_{i_j}} \nearrow, \text{ és } F_{av}, N_{av}, W_{av} \uparrow \Leftrightarrow \frac{t_{i_j}}{p_{i_j}} \searrow.$$

**Bizonyítás.** a) Mivel a feladatoknak csak véges sok ( $n!$ ) ütemezése van, ezek között kell lennie optimálisnak.

b) Megmutatjuk, hogy  $F_{av}$  csak akkor lehet minimális, ha a taszkokat a  $\frac{t_{i_j}}{p_{i_j}}$  szerint növekvő sorrendben hajtjuk végre.

Tegyük fel, hogy van olyan  $S$  ütemezés, azaz a taszkoknak olyan  $T_{i_1}, \dots, T_{i_n}$  permutációja, amelyre  $F_{av}(S)$  minimális, de ugyanakkor van olyan  $k$  ( $1 \leq k \leq n-1$ ) index, amelyre

$$(2.1) \quad \frac{t_{i_k}}{p_{i_k}} > \frac{t_{i_{k+1}}}{p_{i_{k+1}}}.$$

Vizsgáljuk most meg a  $T_{i_k}$  és  $T_{i_{k+1}}$  taszkok sorrendjének felcserélésével  $S$ -ből előállítható  $S'$  ütemezést, és a hozzá tartozó  $F_{av}(S')$  átlagos befejezési időt.

$F_{av}$  új értéke két ok miatt különbözik a régitől:  $T_{i_k}$  befejezési időpontja a csere miatt  $t_{i_{k+1}}$ -gyel nőtt, míg  $T_{i_{k+1}}$  befejezési időpontja  $t_{i_k}$ -val csökkent. Ezért

$$(2.2) \quad F_{av}(S') = \frac{1}{n} (p_{i_k} t_{i_{k+1}} - p_{i_{k+1}} t_{i_k}) + \underbrace{\frac{1}{n} \sum_{i=1}^n p_i f_i(S)}_{F_{av}(S)}.$$

(2.1) átrendezésével azt kapjuk, hogy  $p_{i_k} t_{i_{k+1}} < p_{i_{k+1}} t_{i_k}$ , amiből (2.2) alapján  $F_{av}(S') < F_{av}(S)$  következik. Mivel ez ellentmond annak, hogy  $F_{av}(S)$  minimális, ezért csak  $\frac{t_i}{p_i}$  szerint növekvő sorrendhez tartozhat minimális  $F_{av}$ .

c) A szükségesség után most a vizsgált feltétel elégségességét is belátjuk. A bizonyítás b) része szerint tehát az egyik „jó” (növekvő) permutáció adja az optimumot. Ha a  $\frac{t_i}{p_i}$  hányados két taszokra nézve azonos, akkor (2.1) és (2.2) alapján sorrendcseréjük  $F_{av}$  értékét nem befolyásolja, tehát valamennyi „jó” sorrend minimális  $F_{av}$  értékre vezet.

Ezzel a tétel  $F_{av}$ -re vonatkozó részét bebizonyítottuk.

d) Az átlagos súlyozott várakozási idő és pontatlanság definíciója alapján

$$(2.3) \quad W_{av}(S) = \frac{1}{n} \sum_{i=1}^n p_i w_i(S) = \frac{1}{n} \sum_{i=1}^n p_i \underbrace{(f_i(S) - t_i)}_{s_i(S)} = F_{av}(S) - \frac{1}{n} \sum_{i=1}^n p_i t_i,$$

$$(2.4) \quad N_{av}(S) = \frac{1}{n} \sum_{i=1}^n p_i n_i(S) = \frac{1}{n} \sum_{i=1}^n p_i (f_i(S) - d_i) = F_{av}(S) - \frac{1}{n} \sum_{i=1}^n p_i d_i.$$

(2.3) és (2.4) szerint  $W_{av}$  illetve  $N_{av}$  csak egy additív konstanssal különböznek  $F_{av}$ -tól, tehát akkor és csak akkor lesznek minimálisak, ha  $F_{av}$  is az.

e) Az eddigiekben megadtuk annak szükséges és elégséges feltételét, hogy a vizsgált teljesítménymértékek értékei minimálisak legyenek. Ha a b), c) és d) részben a „minimális” helyett „maximális”, „növekvő” helyett „csökkenő”, „<” helyett „>” és „>” helyett „<” szerepel, akkor a maximális értékhez tartozó bizonyítást kapjuk.

Most megmutatjuk, hogy a 2.1. tételhez hasonló állítás teljesül  $E_{av}$  és  $A_{av}$  értékére is. Láttuk, hogy

$$(2.5) \quad E_{av}(S) = \frac{1}{F_{\max}(S)} \sum_{i=1}^n f_i(S).$$

Mivel  $F_{\max}(S)$  értéke állandó, így (a 2.5) egyenlőségből és a 2.1. tételből következik, hogy  $E_{av}$  akkor és csak akkor minimális, ha a taszokat  $t_i$  növekvő sorrendjében ütemezzük (ugyanis  $F_{av}(S) = \frac{1}{n} \sum_{i=1}^n f_i(S)$ , így  $p_i = 1$ ,  $(i = 1, \dots, n)$  esetén  $E_{av}(S) = \frac{1}{F_{\max}(S)} n F_{av}(S)$ , amiből következik, hogy  $E_{av} \downarrow \Leftrightarrow F_{av} \downarrow$ , vagyis  $E_{av} \downarrow \Leftrightarrow t_i \nearrow$ ).

Hasonló gondolatmenet alkalmazható  $A_{av}$  esetén is: Láttuk, hogy

$$(2.6) \quad A_{av}(S) = \frac{1}{F_{\max}(S)} \sum_{i=1}^n p_i f_i(S).$$

Ezt felhasználva  $A_{av} = \frac{1}{F_{\max}(S)} n F_{av}(S)$ , amiből — mivel  $F_{\max}(S)$  konstans — következik, hogy  $A_{av} \downarrow \Leftrightarrow F_{av} \downarrow$ , vagyis  $A_{av} \downarrow \Leftrightarrow t_i \nearrow$ .

Természetesen ugyanígy  $E_{av}$  és  $A_{av}$  maximumára is levezethetjük a szükséges és elégséges feltételt.

## 2.3. Maximális jellemzők

A maximális késés és a maximális pontatlanság minimalizálásához elégséges feltételt biztosít a következő állítás.

**2.2. tétel.** Ha a taszkokat a  $d_{i_j}$  ajánlott határidők növekvő sorrendjében ütemezzük, akkor az  $N_{\max}$  maximális pontatlanság és az  $L_{\max}$  maximális késés minimális lesz.

**Bizonyítás.** a) Mivel a taszkoknak csak véges sok permutációja van, ezért biztosan van optimális ütemezés.

b) Először a maximális pontatlanságra vonatkozó részt látjuk be. Tegyük fel, hogy van olyan  $S$  ütemezés, azaz a taszkoknak olyan  $T_{i_1}, \dots, T_{i_n}$  permutációja, melyre  $N_{\max}(S)$  minimális, de ugyanakkor van olyan  $j$  index ( $1 \leq j \leq n-1$ ), melyre

$$(2.7) \quad d_{i_j} > d_{i_{j+1}}.$$

Ekkor a  $T_{i_j}$  és  $T_{i_{j+1}}$  taszkok pontatlanságai:

$$(2.8) \quad n_{i_j}(S) = f_{i_j}(S) - d_{i_j}, \quad n_{i_{j+1}}(S) = f_{i_{j+1}}(S) - d_{i_{j+1}} = f_{i_j}(S) + t_{i_{j+1}} - d_{i_{j+1}}.$$

Innen (2.7) és  $t_{i_{j+1}} > 0$  figyelembevételével  $n_{i_{j+1}} < n_{i_j}$ , és így  $N_{\max}(S) = \max_{1 \leq k \leq n} n_{i_k} \geq n_{i_{j+1}}$ .

Cseréljük fel az  $S$  ütemezésben a  $T_{i_j}$  és  $T_{i_{j+1}}$  taszkok sorrendjét, és az így kapott új ütemezést jelöljük  $S'$ -vel. A továbbiakban az  $S'$ -höz tartozó jellemzők jelét vesszővel, az  $S$ -hez tartozók jelét pedig vessző nélkül használjuk. Az új ütemezéssel a pontatlanságok:

$$(2.9) \quad n'_{i_j} = f'_{i_j} - d_{i_j} = f_{i_j} + t_{i_{j+1}} - d_{i_j}, \quad n'_{i_{j+1}} = f'_{i_{j+1}} - d_{i_{j+1}} = \underbrace{f_{i_j} + t_{i_{j+1}}}_{f_{i_{j+1}}} - t_{i_j} - d_{i_{j+1}}.$$

Figyeljük meg, hogy  $n'_{i_j} < n_{i_{j+1}}$  és  $n'_{i_{j+1}} < n_{i_{j+1}}$ , ezért  $N_{\max}(S') \leq N_{\max}(S)$ , tehát a cserétől az  $N_{\max}$  értéke nem nőtt.

Véges sok hasonló cserével elérhető, hogy a feladatok határidők szerint növekvő sorrendjéhez jussunk. Ha akár egyetlen cserével a korábbinál kisebb pontatlanságot kapunk, akkor az ellentmondás állításunk helyességét bizonyítja. Ha minden csere után változatlan marad a maximális pontatlanság, akkor is igaz, hogy az így megadott algoritmus minimalizálja  $N_{\max}$ -ot.

c) Hasonlóképpen láthatjuk be, hogy a határidők szerint növekvő sorrend esetén  $L_{\max}$  minimális lesz. Itt is igaz, hogy csak véges sok ütemezés van.

Ismét tegyük fel, hogy van olyan  $T_{i_1}, \dots, T_{i_n}$  permutáció, melyre  $L_{\max}$  minimális, és ugyanakkor van olyan  $j$  index, melyre (2.7) fennáll. Cseréljük fel a  $T_{i_j}$  és  $T_{i_{j+1}}$  taszkokat. A csere előtti ütemezést jelöljük  $S$ -sel, a csere utáni  $S'$ -vel. Ekkor a csere előtti késések:

$$(2.10) \quad l_{i_j} = \max(0, f_{i_j} - d_{i_j}), \quad l_{i_{j+1}} = \max(0, f_{i_j} + t_{i_{j+1}} - d_{i_{j+1}}).$$

Mivel most (2.7) és  $t_{i_{j+1}} > 0$  alapján  $l_{i_{j+1}} \geq l_{i_j}$ , ezért  $L_{\max}(S) = \max_{1 \leq i \leq n} l_i \geq l_{i_{j+1}}$ . Az új késések értéke:

$$(2.11) \quad l'_{i_j} = \max(0, f_{i_j} + t_{i_{j+1}} - d_{i_j}), \quad l'_{i_{j+1}} = \max(0, f_{i_j} + t_{i_{j+1}} - t_{i_j} - d_{i_{j+1}}).$$

Mivel most  $l'_{i_j} < l_{i_{j+1}}$  és  $l'_{i_{j+1}} < l_{i_{j+1}}$ , ezért  $L_{\max}(S') \leq L_{\max}(S)$ .

Véges sok hasonló cserével a határidők szerint növekvő taszk sorrendet kapunk. Akár volt olyan csere, amely után a maximális késés csökkent, akár minden cserénél változatlan maradt  $L_{\max}$  értéke, mindkét esetben igaz, hogy a tétel  $L_{\max}$ -ra vonatkozó részét is bizonyítottuk.

Tekintsük most azokat a  $T_1, T_2$  és  $T_3$  feladatokat, melyekre  $d_1 = 1, d_2 = 2, d_3 = 3$ , a végrehajtási idők pedig  $t_1 = t_2 = t_3 = 10$ . Ezeket a taszkokat a határidők növekvő sorrendjében végrehajtva  $N_{\max}(S) = L_{\max}(S) = \max(9, 18, 27) = 27$ , míg az előzőtől eltérő  $T_2, T_1, T_3$  sorrend esetén ugyancsak  $N_{\max}(S) = L_{\max}(S) = \max(8, 19, 27) = 27$ . A példából látható, hogy — a 2.1. tételben tapasztaltakkal ellentétben — még különböző jellemzők (itt: határidők) esetén sem egyértelmű az optimális sorrend.

A teljesség kedvéért vizsgáljuk meg annak feltételét is, hogy  $N_{\max}$  illetve  $L_{\max}$  maximális legyen. A maximális pontatlanság akkor és csak akkor lesz maximális, ha utoljára a legkisebb határidejű taszkot hajtjuk végre.  $L_{\max}$  maximalizálásakor két esetet kell megkülönböztetnünk: ha a legkisebb határidő sem kisebb, mint a végrehajtási idők összege, akkor  $L_{\max}(S) = 0$  mind az  $n!$  lehetséges ütemezésre. Ha viszont van a végrehajtási idők összegénél kisebb határidő, akkor a szükséges és elégséges feltétel  $d_{i_n} = \min_{1 \leq i \leq n} d_i$  lesz.

## 2.4. Minimális jellemzők

A minimális pontatlanság és a minimális késés minimalizálásához jó elvnek tűnhet a tartalékidők ( $sp_i = d_i - t_i$ ) alapján való ütemezés. Némiképp meglepő ezért a következő állítás.

**2.3. tétel.** Ha a taszkokat a tartalékidők növekvő sorrendjében ütemezzük, akkor az  $N_{\min}$  minimális pontatlanság és az  $L_{\min}$  minimális késés maximális lesz.

**Bizonyítás.** a) Mivel a taszkoknak csak véges sok permutációja van, az optimális megoldás létezik.

b) Megmutatjuk, hogy a tartalékidők növekvő sorrendje esetén  $N_{\min}$  maximális lesz. Tegyük fel, hogy van olyan  $S$  ütemezés, azaz a taszkoknak olyan  $T_{i_1}, \dots, T_{i_n}$  sorrendje, amelyre  $N_{\min}$  maximális, de ugyanakkor van olyan  $j$  index ( $1 \leq j \leq n-1$ ), amelyre

$$(2.12) \quad sp_{i_j}(S) > sp_{i_{j+1}}(S).$$

Cseréljük fel az  $S$  ütemezésben a  $T_{i_j}$  és a  $T_{i_{j+1}}$  taszkokat (így kapjuk az  $S'$  ütemezést). A felcserélt taszkok eredeti pontatlanságai:

$$(2.13) \quad n_{i_j} = f_{i_j} - d_{i_j} = f_{i_j} - t_{i_j} - sp_{i_j}, \quad n_{i_{j+1}} = f_{i_{j+1}} - d_{i_{j+1}} = f_{i_j} + t_{i_{j+1}} - d_{i_{j+1}} = f_{i_j} - sp_{i_{j+1}}.$$

Innen (2.12) és  $t_{i_j} > 0$  figyelembevételével  $n_{i_j} < n_{i_{j+1}}$ , és így  $N_{\min} = \min_{1 \leq i \leq n} n_i \leq n_{i_j}$ . A csere utáni pontatlanságok:

$$(2.14) \quad \begin{aligned} n'_{i_j} &= f'_{i_j} - d_{i_j} = f_{i_j} + t_{i_{j+1}} - d_{i_j} = f_{i_j} + t_{i_{j+1}} - t_{i_j} - sp_{i_j} = n_{i_j} + t_{i_{j+1}}, \\ n'_{i_{j+1}} &= f'_{i_{j+1}} - d_{i_{j+1}} = \underbrace{f_{i_j} + t_{i_{j+1}}}_{f_{i_{j+1}}} - t_{i_j} - d_{i_{j+1}} = f_{i_j} - t_{i_j} - sp_{i_{j+1}}. \end{aligned}$$

Mivel  $n'_{i_j} > n_{i_j}$  és  $n'_{i_{j+1}} > n_{i_j}$ , így  $N_{\min}(S') \geq N_{\min}(S)$ . Tehát a cserétől a minimális pontatlanság értéke nem csökkent, így —  $S$  optimalitása miatt — ugyanakkora maradt.

Véges sok cserével elérhető, hogy a taszkoknak a tartalékidők szerint növekvő sorrendjéhez jussunk. Tehát a tartalékidők növekvő sorrendjében való ütemezés maximalizálja  $N_{\min}$ -t.

c) Hasonló módon látjuk be, hogy a növekvő tartalékidők szerinti ütemezés esetén  $L_{\min}$  maximális. Tegyük fel, hogy van olyan  $S$  optimális permutáció és ahhoz olyan  $j$  ( $1 \leq j \leq n-1$ ) index, melyre (2.12) fennáll. Ekkor

$$(2.15) \quad \begin{aligned} l_{i_j} &= \max(0, f_{i_j} - d_{i_j}) = \max(0, f_{i_j} - t_{i_j} - sp_{i_j}), \\ l_{i_{j+1}} &= \max(0, f_{i_{j+1}} - d_{i_{j+1}}) = \max(0, f_{i_j} + t_{i_{j+1}} - d_{i_{j+1}}) = \max(0, f_{i_j} - sp_{i_{j+1}}). \end{aligned}$$

Innen (2.12) és  $t_{i_j} > 0$  alapján  $l_{i_j} \leq l_{i_{j+1}}$ , így  $L_{\min} = \min_{1 \leq k \leq n} l_k \leq l_{i_j}$ . Cseréljük fel

most a  $T_{i_j}$  és  $T_{i_{j+1}}$  taszkokat. Az így kapott  $S'$  ütemezés szerinti késések:

$$(2.16) \quad \begin{aligned} l'_{i_j} &= \max(0, \underbrace{f_{i_j} + t_{i_{j+1}}}_{f'_{i_j}} - d_{i_j}) = \max(0, f_{i_j} + t_{i_{j+1}} - t_{i_j} - sp_{i_j}), \\ l'_{i_{j+1}} &= \max(0, \underbrace{f_{i_j} + t_{i_{j+1}}}_{f'_{i_{j+1}}} - t_{i_j} - d_{i_{j+1}}) = \max(0, f_{i_j} - t_{i_j} - sp_{i_{j+1}}). \end{aligned}$$

Mivel  $l_{i_j} \geq l'_{i_j}$  és  $l_{i_j} \geq l'_{i_{j+1}}$ , így  $L_{\min}(S') \geq L_{\min}(S)$ . Ebből  $S$  optimalitása miatt a két utóbbi érték egyenlősége következik.

Véges sok hasonló cserével elérhető a növekvő tartalékidők szerinti sorrend, amiből állításunk következik.

Tekintsük most újra a 2.3. rész végén vizsgált taszkrendszer. Legyen az  $S$  ütemezés a  $T_1, T_2, T_3$  permutációval adott, míg az  $S'$  ütemezés a  $T_1, T_3, T_2$  sorrendhez tartozzon. Most a tartalékidők  $sp_1 = -9$ ,  $sp_2 = -8$ ,  $sp_3 = -7$ , azaz  $S$  a 2.3. tétel szerinti ütemezés. Ezekkel az adatokkal  $N_{\min}(S) = L_{\min}(S) = \min(9, 18, 27) = 9$  és  $N_{\min}(S') = L_{\min}(S') = \min(9, 17, 28) = 9$ . A példából látható, hogy a tételben szereplő feltétel valóban csak elégséges, de nem szükséges.

Vizsgáljuk meg most annak feltételeit is, hogy ez a két teljesítménymérték minimális értéket vegyen fel.  $N_{\min}$  akkor és csak akkor lesz minimális, ha először a legnagyobb tartalékidejű taszkot hajtjuk végre.  $L_{\min}$  esetében két lehetőség van attól függően, hogy van-e nemnegatív tartalékidejű taszk. Ha van, úgy  $L_{\min}$  akkor és csak akkor lesz minimális, ha van olyan taszk, amelynek végrehajtását határidőre befejezzük (ekkor a minimális késés nulla). Ha viszont minden tartalékidő negatív, úgy az a keresett szükséges és elégséges feltétel, hogy a legnagyobb tartalékidejű taszkot hajtjuk végre először.

## 2.5. Egyprocesszoros eredmények összefoglalása

A 2.1. táblázatban összefoglaltuk az egyprocesszoros ütemezési eredményeket. A táblázatból hiányzik az átlagos súlyozott késés szélsőértékeihez tartozó feltétel, mivel nem ismeretes olyan polinomiális algoritmus, amely ezt az ütemezési problémát megoldaná.

Sorsz.	Minimum feltétele	Maximum feltétele
1.	$W_{\min} = 0$	ütemezéstől függetlenül
2.	$E_{\min} = 0$	ütemezéstől függetlenül
3.	$A_{\min} = 0$	ütemezéstől függetlenül
4.	$F_{\max} = \sum_{i=1}^n t_i$	ütemezéstől függetlenül
5.	$E_{\max} = n$	ütemezéstől függetlenül
6.	$A_{\min} = \sum_{i=1}^n p_i$	ütemezéstől függetlenül
7.	$F_{\min} \downarrow \Leftrightarrow t_{i_1} = \min_{1 \leq j \leq n} t_j$	$F_{\min} \uparrow \Leftrightarrow t_{i_1} = \max_{1 \leq j \leq n} t_j$
8.	$W_{\max} \downarrow \Leftrightarrow t_{i_n} = \max_{1 \leq j \leq n} t_j$	$W_{\max} \uparrow \Leftrightarrow t_{i_n} = \min_{1 \leq j \leq n} t_j$
9.	$F_{\text{av}} \downarrow \Leftrightarrow \frac{t_{i_j}}{p_{i_j}} \nearrow$	$F_{\text{av}} \uparrow \Leftrightarrow \frac{t_{i_j}}{p_{i_j}} \searrow$
10.	$W_{\text{av}} \downarrow \Leftrightarrow \frac{t_{i_j}}{p_{i_j}} \nearrow$	$W_{\text{av}} \uparrow \Leftrightarrow \frac{t_{i_j}}{p_{i_j}} \searrow$
11.	$N_{\text{av}} \downarrow \Leftrightarrow \frac{t_{i_j}}{p_{i_j}} \nearrow$	$N_{\text{av}} \uparrow \Leftrightarrow \frac{t_{i_j}}{p_{i_j}} \searrow$
12.	$E_{\text{av}} \downarrow \Leftrightarrow \frac{t_{i_j}}{p_{i_j}} \nearrow$	$E_{\text{av}} \uparrow \Leftrightarrow \frac{t_{i_j}}{p_{i_j}} \searrow$
13.	$A_{\text{av}} \downarrow \Leftrightarrow \frac{t_{i_j}}{p_{i_j}} \nearrow$	$A_{\text{av}} \uparrow \Leftrightarrow \frac{t_{i_j}}{p_{i_j}} \searrow$
14.	$N_{\max} \downarrow \Leftrightarrow d_{i_j} \nearrow$	$N_{\max} \uparrow \Leftrightarrow d_{i_n} = \min_{1 \leq j \leq n} d_j$
15.	$L_{\max} \downarrow \Leftrightarrow d_{i_j} \nearrow$	$L_{\max} = 0 \Leftrightarrow F_{\max} \leq \min_{1 \leq j \leq n} d_j$ $N_{\max} \uparrow \Leftrightarrow d_{i_n} = \min_{1 \leq j \leq n} d_j$
16.	$N_{\min} \downarrow \Leftrightarrow sp_{i_1} = \max_{1 \leq j \leq n} sp_j$	$N_{\min} \uparrow \Leftrightarrow sp_{i_j} \nearrow$
17.	$L_{\min} = 0 \Leftrightarrow \exists j : f_{i_j} \leq d_{i_j}, \text{ ha } \exists i : sp_i \geq 0$ $L_{\min} \downarrow \Leftrightarrow sp_{i_1} = \max_{1 \leq j \leq n} sp_j, \text{ egyébként}$	$L_{\min} \uparrow \Leftrightarrow sp_{i_j} \nearrow$
18.	$L_{\text{av}} \downarrow ???$	$L_{\text{av}} \uparrow ???$

2.1. táblázat. Egyprocesszoros eredmények összefoglalása

## 3. Maximális befejezési idő minimalizálása

### 3.1. Bevezetés

Ebben a fejezetben olyan ütemezési problémákat tárgyalunk, melyekben a maximális befejezési idő minimalizálása a cél. Ebből adódik, hogy például a határidők és a súlyok nem befolyásolják a taszkok ütemezését.

A vizsgált problémákban kiegészítő erőforrások nem szerepelnek, így a formális modell a következő:  $\pi = (\rho, \tau, \mu)$ ,  $\rho = (\mathbf{P})$ ,  $\mathbf{P} = \{P_1, \dots, P_m\}$ ,  $\tau = (\mathbf{T}, <, [t_{ij}])$ ,  $\mu = F_{\max} \downarrow$ .

A processzorok az esetek többségében azonosak lesznek.

A vizsgált ütemezési problémák mindegyikének megoldására ismeretes polinomiális algoritmus. A fejezet végén azt is megmutatjuk, hogy a korábban vizsgált anomáliák mértéke mekkora lehet.

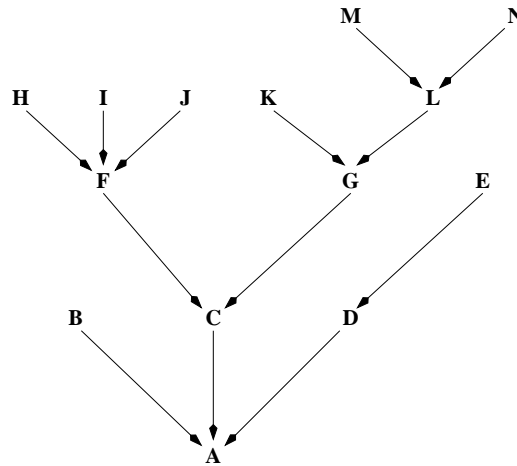
### 3.2. Fastruktúrájú taszkrendszerek

Tegyük fel, hogy adott  $m$  azonos processzor, amelyek mohóak. A taszkok legyenek megszakíthatatlanok, egységnyi végrehajtási idejűek, és a megelőzési relációt fa adja meg.

Először tekintsük a 3.1. ábrán bemutatott példát, ahol a taszkokat az A, ..., N betűkkel jelöltük, és az egységnyi végrehajtási időket elhagytuk. Becsüljük meg  $F_{\max}(S)$  értékét. Mivel 14 taszk van, ezért  $m \geq 1$  mohó processzor esetén  $F_{\max}(S) \leq 14$  bármely szóba jövő algoritmusra. Mivel van öt taszkot tartalmazó lánc (például  $N < L < G < C < A$ ), ezért  $F_{\max} \geq 5$ . Tehát ha  $m \geq 1$ , akkor  $5 \leq F_{\max}(S) \leq 14$  minden A algoritmusra.

A pontosabb becsléshez rögzítsük a processzorok számát: legyen  $m = 3$ . 14 megszakíthatatlan taszk végrehajtásához 3 processzoron még független taszkok esetén is legalább 5 időegységre van szükség, azaz ismét azt kaptuk, hogy  $F_{\max}(S) \geq 5$ . Ha a megelőzési korlátozásokat is figyelembe vesszük, akkor látjuk, hogy az A taszkot az





3.1. ábra. Fastruktúrájú taszkrendszer

összes többi taszk megelőzi: mivel 13 taszk 3 processzort legalább 5 időegységre lefoglal, ezért  $F_{\max}(S) \geq 6$ . Az eddigieket összesítve azt kapjuk, hogy  $6 \leq F_{\max}(S) \leq 14$  minden szóba jövő  $S$  ütemezésre.

Az egyik lehetséges ütemezési stratégia az, hogy a taszkokat lexikografikus sorrendben (nevük ábécé szerinti sorrendjében) hajtjuk végre. Ekkor a 3.2. ábrán bemutatott  $S_{\text{lex}}$  ütemezést kapjuk, amelyre  $F_{\max}(S_{\text{lex}}) = 8$ .

$P_1$	B	D	F	N	L	G	C	A
$P_2$	E	I	K	-	-	-	-	-
$P_3$	H	J	M	-	-	-	-	-

3.2. ábra. Az  $S_{\text{lex}}$  lexikografikus ütemezés

Egy másik lehetséges megközelítés, hogy az A befejező feladattól legtávolabbi feladatot igyekszünk ütemezni (több jelölt esetén például az előbbi, lexikografikus módon választva). Ekkor a 3.3. ábrán bemutatott  $S_{\text{fur}}$  ütemezést kapjuk, amelyre  $F_{\max}(S_{\text{fur}}) = 6$ .

Mivel korábban láttuk, hogy a maximális befejezési idő legalább 6, ezért  $S_{\text{fur}}$  optimális ütemezés. A továbbiakban megmutatjuk, hogy a most vizsgált ütemezési problémák esetén a „legtávolabbit először” elv mindig optimális ütemezésre vezet.

Ehhez először vezessük be a taszkok szintjének fogalmát. Tegyük fel, hogy a taszkokat azonos processzorokon hajtjuk végre, azaz a végrehajtási idő minden processzoron azonos. A (definíciójuk szerint körmentes) megelőzési gráfokban egy *taszk szintjét* úgy definiáljuk, mint a taszkból a befejező taszkokhoz vezető utak hossza-

$P_1$	M	I	L	G	C	A
$P_2$	N	J	E	B	-	-
$P_3$	H	K	F	D	-	-

3.3. ábra. Az  $S_{\text{fur}}$  „legtávolabbt először” ütemezés

inak maximuma. Megjegyezzük, hogy egy út hosszán az út mentén lévő taszkok végrehajtási időinek összegét értjük.

Amint arról már volt szó, ebben a részben a végrehajtási idők egységnyiek, a megelőzési gráf pedig fa, ezért egy taszk szintjét egyszerűen a taszkból az egyetlen befejező taszkhoz vezető egyetlen út mentén levő taszkok száma adja.

*Szintes ütemezésről* akkor beszélünk, ha valahányszor ütemezendő taszkot kell választanunk, mindannyiszor a végrehajtható és még nem ütemezett taszkok közül a legmagasabb szintűek egyikét választjuk. Ez például a következőképpen valósítható meg: Először az  $n$  taszkhoz alkalmas módon hozzárendeljük az  $1, 2, \dots, n$  címkeket, majd a taszkokat címkeik csökkenő sorrendjében felsorolva prioritási listát készítünk, és ezzel a listával *listás ütemezést* végzünk. Ez utóbbi azt jelenti, hogy ha ütemezendő taszkot kell választani, azt a lista sorrendjében keressük.

**3.1. algoritmus (LEV).** Legyen  $\tau = (\mathbf{T}, <, \mathbf{t})$  fastruktúrájú vagy erdőstruktúrájú taszkrendszer, amely egységnyi végrehajtási idejű, megszakíthatatlan taszkokat tartalmaz. Ekkor a fastruktúrájú  $\tau$   $S_{\text{LEV}}(\tau)$  szintes ütemezése azonos processzorokon a következőképpen állítható elő.

Definiálunk egy  $C : \mathbf{T} \rightarrow \{1, \dots, n\}$  „címkéző” leképezést (1–3. lépés), majd a címkek segítségével listásan ütemezünk (4–5. lépés).

**1. lépés.** Ha  $T \in \mathbf{T}$  a taszkrendszer befejező feladata, akkor  $C(T) := 1$ .

**2. lépés.** Tegyük fel, hogy az  $1, \dots, j - 1$  ( $j \leq n$ ) címkeket már hozzárendeltük bizonyos taszkokhoz. Legyen  $\gamma_j$  azon taszkok halmaza, amelyeknek

- a) még nincs címkéjük, és
- b) közvetlen rákövetkezőjüknek már van címkéje.

Ha ebben a halmazban  $T$  az egyetlen taszk, vagy  $T$  rákövetkezőjének a címkéje a legkisebb, akkor  $C(T) := j$ . Ha viszont több taszk rendelkezik (azonos) legkisebb címkéjű közvetlen rákövetkezővel, akkor ezek bármelyikét (pl. a lexikografikusan legkisebbet) választhatjuk  $T$ -nek, és  $C(T) := j$ .

**3. lépés.** Ha van még címkézetlen taszk, akkor folytassuk a 2. lépéstől, egyébként pedig a 4. lépéstől.

- 4. lépés.** Indexeljük meg a taszkokat oly módon, hogy a  $(T_n, \dots, T_1)$  listára fennálljon  $C(T_j) = j$  minden  $j = 1, \dots, n$  címkére.
- 5. lépés.** A  $(T_n, \dots, T_1)$  lista segítségével  $m$  azonos processzoron adódó ütemezést nevezzük  $S_{LEV}$ -nek.

Erdőstruktúrájú  $\tau$  esetén  $\tau$ -t kiegészítjük egy 0 végrehajtási idejű taszkkal, melynek  $\tau$  befejező taszkjai lesznek a közvetlen megelőzői, és erre az új taszkrendszerre alkalmazzuk a fenti lépéseket.

**Példa.** A 3.1. ábrán szereplő fa esetén egyértelműen adódik, hogy  $C(A) = 1$ . Ekkor az a) tulajdonsággal A-n kívül minden taszk rendelkezik, közülük B, C és D rendelkezik a b) tulajdonsággal is. Mindhárom taszk közvetlen rákövetkezőjének címkéje azonos (1), így mindhárom választható T-nek. Legyen például  $C(B) = 2$ . Ezután C és D alkotják  $\gamma_3$ -at. Legyen  $C(C) = 3$ . Most  $\gamma_4 = D, F, G$ , és az 1, 3 címkék összehasonlításával  $C(D) := 4$ . Ezután  $\gamma_5 = \{E, F, G\}$ , és F, G közül például F-et választva  $C(F) := 5$ . Hasonlóképpen folytatva  $C(G) = 6$ ,  $C(E) = 7$ ,  $C(H) = 8$ ,  $C(I) = 9$ ,  $C(J) = 10$ ,  $C(K) = 11$ ,  $C(L) = 12$ ,  $C(M) = 13$  és  $C(N) = 14$  adódik.

Ez a címkézés az (N, M, L, K, J, I, H, E, G, F, D, C, B, A) listára, az pedig a 3.4. ábrán látható ütemezésre vezet.

$P_1$	N	L	H	F	C	A
$P_2$	M	J	E	D	B	-
$P_3$	K	I	G	-	-	-

3.4. ábra. Az  $S_{LEV}$  ütemezés Gantt-diagramja

A LEV ütemezési algoritmussal kapcsolatban megjegyezzük, hogy a taszkok címkézése nem egyértelmű: ha a  $\gamma_j$ -beli taszkok közül többnek a közvetlen rákövetkezője azonos (és így a vizsgált címkék is azonosak), akkor ezen taszkok közül T tetszőlegesen választható az algoritmus 2. lépésében.

**3.1. tétel.** Ha egységnyi végrehajtási idejű, megszakíthatatlan taszkokat tartalmazó fastruktúrájú taszkrendszert azonos processzorokra a LEV algoritmussal (3.1. algoritmus) ütemezünk, akkor a maximális befejezési idő minimális lesz.

**Bizonyítás.** a) Egyszintes (egyetlen taszkot tartalmazó) és kétszintes taszkrendszerekre az állítás közvetlenül adódik.

b) A továbbiakban tegyük fel, hogy a vizsgált taszkrendszerek legalább három szintet tartalmaznak. Azt is tegyük fel, hogy a tétel állításával ellentétben  $S_{LEV}$  nem

minden esetben optimális. Ekkor van olyan, a taszkok  $n$  számát tekintve minimális taszkrendszer, amelyre a szintes ütemezés nem optimális. Egy ilyet  $\tau_{\min}$ -nel jelölve tehát  $F_{\max}(S_{\text{LEV}}(\tau_{\min})) = F > F_{\max}(S_{\text{OPT}}(\tau_{\min})) = F_0$ . Természetesen  $\tau_{\min}$  megválasztásából következik, hogy az  $n$ -nél kevesebb taszkot tartalmazó taszkrendszerek esetén LEV optimális ütemezést ad.

- c) Mivel a végrehajtandó taszkok száma rögzített, ezért az üres periódusok száma meghatározza  $F$ -et. A befejező taszk mindig az utolsó időegységben hajtódik végre. Mivel  $S_{\text{LEV}}$  nem optimális, a  $[0, F - 2]$  intervallumban van üres periódus (egyébként  $S_{\text{LEV}}$  optimális lenne). Tegyük fel, hogy a  $p$ -edik időegységben van üres periódus, ahol  $1 \leq p \leq F - 2$ . Ha  $p < F - 2$ , akkor a  $p$ -edik időegység után végrehajtott taszkok a  $p$ -edik időegység elején még nem kezdhetők el, hiszen egyébként a processzorok mohósága miatt valamelyiket elkezdték volna. Tehát ezen taszkok valamelyik megelőzője a  $p$ -edik időegységben hajtódott végre. Mivel a fastruktúra miatt minden taszknak legfeljebb egy közvetlen rákövetkezője van, így a  $(p + 1), \dots, (F - 2)$ -edik időegységekben végrehajtott taszkok számai nem haladhatják meg (külön-külön sem) a  $p$ -edik időegységben végrehajtott taszkok számát, és így az  $(F - 2)$ -edik időegységben is van legalább egy processzor, amelyik nem dolgozik.
- d) Legyen  $\tau_{\min}$  befejező taszkja T.  $S_{\text{LEV}}$  szerint T az  $F$ -edik időegységben hajtódik végre, ezért T-nek van olyan közvetlen megelőzője, amelyik az  $(F - 1)$ -edik időegységben hajtódik végre — legyen R egy ilyen taszk. Mivel az  $(F - 2)$ -edik időegységben is van üres periódus, így R-nek van olyan közvetlen megelőzője, amelyik ebben az időegységben hajtódik végre (ha nem lenne, akkor R a processzorok mohósága miatt már az  $(F - 2)$ -edik időegységben végrehajtna) — legyen Q egy ilyen taszk.

Tekintsük most azt a  $\tau'$  taszkrendszert, amelyet  $\tau_{\min}$ -ből kapunk T és annak közvetlen megelőzői eltávolításával. Ha az  $S_{\text{LEV}}(\tau_{\min})$ -nek megfelelő Gantt-diagramban minden eltávolított taszkot üres periódussal helyettesítünk, akkor az  $S'$  ütemezéshez jutunk, amely  $\tau'$  szintes ütemezésének felel meg. Ugyanis:

- i.) T az utolsó,  $F$ -edik időegységben hajtódik végre, így — mivel minden más feladatnak rákövetkezője — T üres periódussal való helyettesítése nem változtatja meg a megmaradó ütemezés szintes szerkezetét.
- ii.) Legyen most P egy olyan közvetlen megelőzője T-nek, amelyik a  $k$ -edik időegységben ( $1 \leq k \leq F - 1$ ) hajtódik végre. Ha P-t eltávolítjuk, akkor a  $k$ -edik periódusban  $S'$  készítésekor csak olyan taszk ütemezhető, amelynek szintje azonos P szintjével, vagy annál kisebb: ugyanis, ha  $S'$  szerint egy P-nél magasabb szintű taszk P után hajtódik végre, akkor a taszkot  $S_{\text{LEV}}$  összeállításakor P előtt kellett vizsgálnunk, és annak kellett fennállnia, hogy

az a taszk nem hajtható végre. Mivel a P-vel azonos vagy nála alacsonyabb szinten lévő taszkokat eltávolítottuk, így a P eltávolításával felszabaduló üres periódusban egyetlen taszk sem hajtható végre.

Mivel a taszkok szintje  $\tau'$ -ben pontosan 2-vel kisebb, mint volt  $\tau_{\min}$ -ben, így  $S'$  valóban szintes ütemezés.

- e) Mivel  $\tau_{\min}$ -ből két szintet elhagytunk, így  $F_{\max}(S'(\tau')) = F' \leq F - 2$ . Az előbb említett Q taszk az  $(F - 2)$ -edik időegységben hajtódik végre. Mivel Q a T taszk egyik közvetlen megelőzőjének közvetlen megelőzője, amelyik az  $(F - 2)$ -edik időegységben hajtódik végre, így Q szintje 3. Ezért az  $(F - 2)$ -edik időegység előtt nem lehet olyan időegység, amelyben csak kettes szintű taszkok hajtódtak végre. Így  $F'$  értéke pontosan  $F - 2$ .
- f)  $\tau'$ -höz vegyünk hozzá egy új taszkot, amelynek közvetlen megelőzői pontosan  $\tau'$  befejező taszkjai. Az így kapott  $\tau''$  taszkrendszer struktúrája ugyancsak fa. Ha az  $S'$  ütemezést úgy egészítjük ki  $S''$  ütemezéssé, hogy az  $(F - 1)$ -edik időegységben a  $\tau''$  befejező feladatát hajtjuk végre, akkor azt kapjuk, hogy  $F_{\max}(S''(\tau'')) = F'' = (F - 2) + 1 = F - 1$ .
- g) Mivel  $\tau'$ -t  $\tau_{\min}$ -ből két szinteltávolításával kaptuk, így  $\tau'$ -ben legfeljebb  $n - 2$ , és így  $\tau''$ -ben legfeljebb  $n - 1$  taszk van, azaz  $\tau''$  kisebb, mint  $\tau_{\min}$ . Ha  $\tau_{\min}$ -t optimálisan ütemezzük, akkor befejező taszkja az  $F_0$ -adik időegységben hajtódik végre. Mivel az  $(F_0 - 1)$ -edik időegységben csak a befejező taszk közvetlen megelőzői hajtódnak végre  $S_{\text{OPT}}$  szerint, így  $F_{\max}(S_{\text{OPT}}(\tau')) = F_0' \leq F_0 - 2$ . Amikor  $\tau'$ -t egy új befejező taszkkal egészítjük ki, akkor a maximális befejezési idő legfeljebb egy egységgel nő, azaz  $F_{\max}(S_{\text{OPT}}(\tau'')) = F_0'' \leq F_0 - 1$ . Mivel  $F_0 < F$ ,  $F_0'' \leq F_0 - 1$  és  $F'' = F - 1$ , innen  $F_0'' < F''$ , azaz  $S''$  nem optimális. Mivel  $\tau''$  kisebb, mint  $\tau_{\min}$ , ellentmondásba kerültünk  $\tau_{\min}$  definíciójával, ami a bizonyítandó tétel helyességét igazolja.

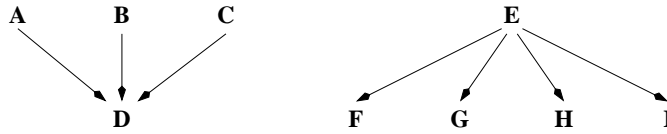
**3.1. következmény.** Ha egységnyi végrehajtási idejű, megszakíthatatlan taszkokat tartalmazó, erdő struktúrájú taszkrendszert azonos processzorokra a LEV algoritmussal ütemezzük, akkor a maximális befejezési idő minimális lesz.

**Bizonyítás.** A végrehajtandó taszkrendszert kiegészítjük egy új, egységnyi idejű taszkkal, amelynek a közvetlen megelőzői pontosan az eredeti taszkrendszer befejező taszkjai. Az így kapott  $\tau'$  taszkrendszer megfelel a 3.1. tétel feltételeinek. Ha LEV nem minimalizálja  $F_{\max}$ -ot  $\tau$ -ra, akkor nem minimalizálhatja az új taszkrendszerre sem — ezért a 3.1. tételt alkalmazva  $\tau'$ -re, megkapjuk a következmény állítását.

**3.2. következmény.** Ha egységnyi végrehajtási idejű, megszakíthatatlan taszkokat tartalmazó, antierdő struktúrájú taszkrendszerre azonos processzorokra a LEV algoritmussal ütemezünk (az alább ismertett módon), akkor a maximális befejezési idő minimális lesz.

**Bizonyítás.** Fordítsuk meg az entierdőben az élek irányítását. Az így kapott erdőstruktúrájú feladatrendszerre alkalmazzuk a LEV algoritmust. Könnyen belátható, hogy az így kapott  $S_{LEV}(\tau')$  ütemezést visszafelé olvasva az eredeti taszkrendszer szintes ütemezéséhez jutunk. Ha az antierdő struktúrájú eredeti taszkrendszernek lenne a visszafelé olvasással kapottnál jobb ütemezése, akkor annak megfordításával az erdő struktúrájú  $\tau'$ -re  $S_{LEV}(\tau')$ -nél jobb ütemezést kapnánk, ami ellentmondana a 3.1. következménynek.

Ha egy taszkrendszer grájában fa és antifa is van (az ilyen irányított gráfot nevezhetjük dzsungelnek), akkor egy ütemezés szintes volta már nem garantálja az optimális megoldást. Ezt illusztrálja a 3.5. ábrán lévő dzsungel struktúrájú taszkrendszer. Ekkor egy szintes ütemezés eredményezheti az (A, B, C, E, D, F, G, H, I) listát, amelyre három processzor esetén  $F_{\max} = 4$ , míg az (E, A, B, C, D, F, G, H, I) lista esetén az optimális  $F_{\max} = 3$  értéket kapjuk.



3.5. ábra. Dzsungel struktúrájú taszkrendszer

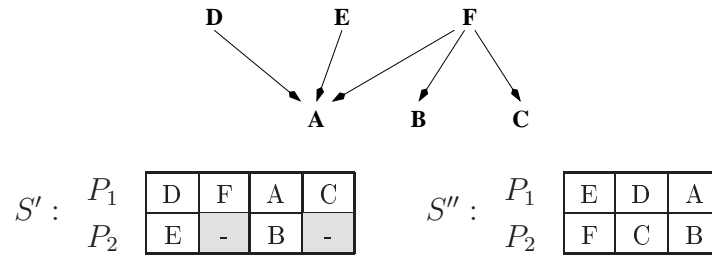
### 3.3. Taszkrendszerek végrehajtása két processzoron

Ebben a pontban a következő ütemezési problémát vizsgáljuk:  $\pi = (\rho, \tau, \mu)$ , ahol  $\rho = (\mathbf{P})$ ,  $\mathbf{P} = \{P_1, P_2\}$ ,  $\tau = (\mathbf{T}, <, \mathbf{t})$ ,  $\mathbf{T} = \{T_1, \dots, T_n\}$ ,  $\mathbf{t} = (1, \dots, 1)$ ,  $\mu = F_{\max} \downarrow$ .

A 3.6. ábrán bemutatott egyszerű taszkrendszer  $S'$  és  $S''$  ütemezése is megfelel a szintes elvnek. Ez a példa bizonyítja, hogy tetszőleges struktúra esetén a szintesség még két processzorra sem garantálja az optimális ütemezést.

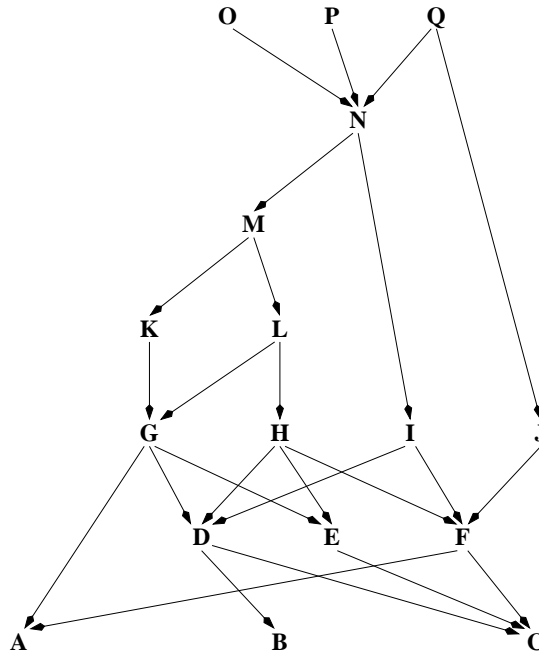
Tekintsük most azt a taszkrendszert, melyben  $\mathbf{T} = \{A, B, C, D, E, F, G, H, I, J, K, L, M, N, O, P, Q\}$ , és  $< = \{(D,B), (D,C), (E,C), (F,A), (F,C), (G,A), (G,D), (G,E), (H,D), (H,E), (H,F), (I,D), (I,F), (J,F), (K,G), (L,G), (L,H), (M,K), (M,L), (N,I), (N,M), (O,N), (P,N), (Q,J), (Q,N)\}$  (3.7. ábra).

Vizsgáljuk meg, hogyan lehetne a szintes algoritmust úgy általánosítani, hogy biztosítsa az optimális ütemezést tetszőleges struktúra esetén. Ehhez megfogalma-



3.6. ábra. Taszkrendszer, és két lehetséges szintes ütemezése

zunk bizonyos célszerűnek látszó tulajdonságokat. A T taszk címkéjét (indexét) most  $C(T)$ , szintjét pedig  $L(T)$  jelöli.



3.7. ábra. Taszkrendszer a LEV algoritmus általánosításához

**3.1. tulajdonság.** Ha a Q taszk szintje nagyobb, mint az R taszké, akkor az indexe is legyen nagyobb, azaz teljesüljön  $\forall Q, R \in \mathbf{T} : L(Q) > L(R) \rightarrow C(Q) > C(R)$ .

Ha például minden szinten páros számú taszk van, akkor ez az elv (tulajdonság) önmagában is elegendő az optimális ütemezés megtalálásához.

**3.2. tulajdonság.** Ha a  $Q$  taszk közvetlen rákövetkezőinek halmaza valódi részhalmazzá tartalmazza az  $R$  taszk közvetlen rákövetkezőinek halmazát, akkor  $C(Q) > C(R)$ .

Ezek a tulajdonságok elegendőek arra, hogy a 17-es indexet  $Q$ -hoz rendeljük, a 15-öst és 16-ost pedig  $O$ -hoz és  $P$ -hez. A hatodik szinten csak az  $N$  taszk van, ezért az kapja a 14-es indexet. Ezután az  $M$  taszk a 13-as indexet kapja, az  $L$  a 12-est, a  $K$  pedig a 11-est.

Hogyan hasonlítsuk össze a harmadik szinten lévő taszkokat, mindenekelőtt a  $G$ -t és  $H$ -t?  $G$ -nek  $A$ ,  $H$ -nak pedig  $F$  a harmadik rákövetkezője a közös  $D$  és  $E$  mellett, így a 3.2. tulajdonság nem elég a választáshoz. Az egyik lehetőség az, hogy  $H$ -hoz rendeljük a nagyobb indexet, mivel több második szinten lévő rákövetkezője van, és a 3.1. tulajdonságot teljesítő ütemezésben az első szint taszkjai csak akkor kerülhetnek ütemezésre, ha a második szint minden taszkját ütemeztük már. Így tehát  $C(H):=10$ ,  $C(G):=9$ ,  $C(I)=8$  és  $C(J)=7$ .  $D$  és  $F$  közül megint nem tudunk a követő halmazok alapján dönteni, legyen mondjuk  $C(D)=6$  és  $C(F)=5$ , végül  $C(E):=4$ ,  $C(A):=3$ ,  $C(B):=2$  és  $C(C):=1$ . Jelölje  $S_{\text{GLEV}}(\tau)$  az ezen lista alapján adódó ütemezést, és nevezzük GLEV algoritmusnak az eljárást, amivel a listát (és az ütemezést) előállítottuk — vagyis a fenti két tulajdonság figyelembevételével működő ütemezési algoritmust. Megmutatjuk, hogy bármely  $S(\tau)$  ütemezés esetén  $F_{\max}(S(\tau)) \geq F_{\max}(S_{\text{GLEV}}(\tau))$ , vagyis hogy GLEV optimális.

Ehhez először definiáljuk a LEV algoritmus általánosított változatát, a GLEV algoritmust.

**3.2. algoritmus (GLEV).** Legyen  $\tau = (\mathbf{T}, <, \mathbf{t})$  tetszőleges struktúrájú taszkrendszer, amely egységnyi végrehajtási idejű, megszakíthatatlan taszkokat tartalmaz. Ekkor  $\tau$   $S_{\text{GLEV}}(\tau)$  szintes ütemezése azonos processzorokon a következőképpen állítható elő.

Definiálunk egy  $C : \mathbf{T} \rightarrow \{1, \dots, n\}$  „címkéző” leképezést (1–3. lépés), majd a címkék segítségével listásan ütemezünk (4–5. lépés).

- 1. lépés.** Legyen  $T \in \mathbf{T}$  a taszkrendszer tetszőleges befejező taszkja, és legyen  $C(T) := 1$ .
- 2. lépés.** Tegyük fel, hogy az  $1, \dots, j - 1$  ( $j \leq n$ ) címkéket már hozzárendeltük bizonyos taszkokhoz. Legyen  $\gamma_j$  azon taszkok halmaza, amelyeknek
  - a) még nincs címkéjük, és
  - b) nincs címkézetlen közvetlen rákövetkezőjük.
- 3. lépés.** Most kiválasztjuk  $\gamma_j$  azon elemét, amelyik a  $j$  címkét fogja kapni. Ehhez minden  $T \in \gamma_j$  taszkhoz hozzárendeljük a közvetlen rákövetkezőinek indexeit csökkenő sorrendben tartalmazó listát, melyet  $\overline{T}$ -vel jelölünk.



Legyen most  $T \in \gamma_j$  olyan taszk, amelyre  $\bar{T} \leq \bar{Q}$  teljesül minden  $Q \in \gamma_j$  taszkra, ahol a  $\leq$  lexikografikus összehasonlítást jelent. Ekkor legyen  $C(T) := j$ .

4. lépés. Ha van még címkézetlen taszk, akkor folytassuk a 2. lépéstől, egyébként pedig a 4. lépéstől.
5. lépés. Indexeljük meg a taszkokat oly módon, hogy a  $(T_n, \dots, T_1)$  listára fennálljon  $C(T_j) = j$  minden  $j = 1, \dots, n$  címkére.
6. lépés. A  $(T_n, \dots, T_1)$  lista segítségével  $m$  azonos processzoron adódó ütemezést nevezzük  $S_{\text{GLEV}}$ -nek.

Mivel a taszkok egységnyi végrehajtási idejűek, ezért végrehajtásuk olyan intervallumokban történik, amelyek végpontjai egész számok. Jelöljük  $\lambda(T)$ -vel azt az időegységet, amelyben  $T$  végrehajtódik.

Mint korábban is, minden időegységben először a  $P_1$  processzorhoz rendelünk taszkot. Ekkor igaz a következő állítás.

**3.1. lemma.** Ha a GLEV algoritmussal kapott ütemezés szerint  $T$  a  $P_1$  processzoron hajtódik végre, akkor  $\mathbf{T}$  minden  $T$ -től különböző,  $T$ -nél nem korábban végrehajtott elemének indexe kisebb, mint  $C(T)$ , azaz  $\forall R \in \mathbf{T} : R \neq T \wedge \lambda(R) \geq \lambda(T) \rightarrow C(R) < C(T)$ .

**Bizonyítás.** Amikor a  $T$  taszkot GLEV szerint a  $P_1$  processzorhoz rendeltük, akkor a még ütemezetlen taszkok vagy ütemezhetőek voltak, vagy nem. Mivel  $T$  a  $P_1$  processzoron a  $\lambda(T)$ -edik időegységben hajtódik végre, a többi ütemezhető taszk indexe kisebb volt, mint  $C(T)$ . A nem ütemezhető taszkok csak valamelyik – az adott időpontban ütemezhető – megelőzőjük befejezése után válnak végrehajthatóvá. Mivel GLEV szerint a taszkok csak akkor kaphatnak címkét, amikor már minden megelőzőjük kapott címkét (és a címkék csökkenő sorrendben kerülnek kiosztásra), így minden taszk címkéje kisebb, mint a megelőzőinek címkéje. Tehát a nem ütemezhető taszkok is rendelkeznek a fenti tulajdonsággal.

A továbbiakban fontos szerepet játszanak a *domináló taszkok*, az *ugró taszkok*, és a segítségükkel definiált *követő halmazok*, amelyeket az alábbi (FOL) algoritmus segítségével adunk meg.

**3.3. algoritmus (FOL).** Legyen  $S_{\text{GLEV}}(\tau)$  a  $\tau$  taszkrendszer GLEV által előállított ütemezése. Ekkor az adott ütemezéshez tartozó  $k$  természetes számot, a  $D_k, \dots, D_1, D_0$  domináló taszkokat, a  $J_k, \dots, J_1, J_0$  ugró taszkokat, valamint az  $F_0, F_1, \dots, F_k$  követő halmazokat meghatározó FOL algoritmus a következő lépésekből áll.

1. lépés. Legyenek  $Q$ , illetve  $R$  a  $P_1$ , illetve  $P_2$  processzoron az utolsó időegységben végrehajtott taszkok ( $R$  üres periódus is lehet). Ekkor  $D_0 := Q$  és  $J_0 := R$ .
2. lépés. Tegyük fel, hogy  $D_{j-1}, \dots, D_0$  és  $J_{j-1}, \dots, J_0$  már ismert,  $D_j$  és  $J_j$  még nem. Ekkor  $J_j$  (ha van ilyen) az a  $T$  taszk vagy üres periódus, amelyre
  - a)  $C(T) < C(D_{j-1})$ , ahol feltesszük, hogy az üres periódus indexe nulla;
  - b)  $\lambda(T) < \lambda(D_{j-1})$ ;
  - c) az előző két feltételnek eleget tevő taszkok közül  $\lambda(T)$  a lehető legnagyobb.
3. lépés. Ha  $J_j$  létezik, akkor  $D_j$  legyen az a taszk, amely a  $\lambda(J_j)$ -edik intervallumban a  $P_1$  processzoron hajtódik végre, és menjünk a 2. lépésre.
4. lépés. Legyen  $k = j - 1$ . Ekkor  $F_k := \{T \mid \lambda(T) < \lambda(D_k)\} \cup \{D_k\}$ ,  $F_i := \{T \mid \lambda(D_{i+1}) < \lambda(T) < \lambda(D_i)\} \cup \{D_i\}$ , ( $i = 0, 1, \dots, k - 1$ ).

A következő, 3.8. ábra mutatja a definícióban szereplő taszkok közötti kapcsolatot. A  $J_i$  taszk megelőzi a  $D_{i-1}$ -et, „elébe ugrik” abban az értelemben, hogy korábban hajtódik végre annak ellenére, hogy az indexe kisebb. A következő lemmában megmutatjuk, hogy a  $D_i$  taszk dominál az  $F_{i-1}$ -beli taszkok felett abban az értelemben, hogy megelőzi őket.

	$F_i$		$F_{i-1}$	
$D_{i+1}$	...	$D_i$	...	$D_{i-1}$
$J_{i+1}$	...	$J_i$	...	$J_{i-1}$

3.8. ábra. Az ugró és domináló taszkok, és a követő halmazok

**3.2. lemma.** A  $D_i$  ( $i = 1, \dots, k$ ) taszk megelőzi az  $F_{i-1}$  követő halmaz minden elemét.

**Bizonyítás.** A  $D_i$  és a  $J_i$  taszkok egyidejűleg hajtódnak végre.  $J_i$ -t úgy választottuk meg, hogy  $C(J_i) < C(D_{i-1})$  teljesüljön, és  $J_i$  a lehető legközelebbi legyen (balról, azaz a korábban végrehajtott taszkok közül)  $D_{i-1}$ -hez. Ezért minden  $F_{i-1}$ -beli  $T$  taszkra teljesül, hogy  $C(D_{i-1}) < C(T)$ , és az egyenlőtlenség tranzitivitása miatt fennáll  $C(J_i) < C(T)$ . Mivel az  $F_{i-1}$ -beli taszkok indexe nagyobb, mint  $C(J_i)$ , ezért az ütemezés során előbb vizsgáltuk őket, mint  $J_i$ -t. Mivel helyettük  $J_i$ -t ütemeztük, így akkor ők nem voltak ütemezhetőek. Ebből következik, hogy  $D_i$  minden ilyen  $T$  taszknak megelőzője (nem feltétlenül közvetlen megelőzője).

Most megmutatjuk, hogy nemcsak  $D_i$ , hanem  $F_i$  minden eleme dominál  $F_{i-1}$  elemei felett.

**3.3. lemma.** Az  $F_i$  halmaz ( $i = 1, \dots, k$ ) bármely eleme megelőzi az  $F_{i-1}$  halmaz bármely elemét.

**Bizonyítás.** Tegyük fel, hogy az állítás nem igaz. Akkor van olyan  $i$  index ( $1 \leq i \leq k$ ), hogy egy  $F_i$ -beli  $Q$  taszk nem előz meg egy  $F_{i-1}$ -beli  $R$  taszkot. Ekkor  $Q$ -nak vagy nincs rákövetkezője  $F_i$ -ben (a eset), vagy van (b eset):

a) Ekkor a 3.2. lemma szerint  $Q$  különbözik  $D_i$ -től, és  $D_i < R$ .  $F_i$  definíciója szerint  $C(Q) > C(D_i)$ , mivel egyébként  $Q$  szóba jött volna  $J_{i+1}$ -ként, és nem lehetne  $F_i$  eleme.

Legyen  $\overline{D}_i = (n_1, \dots, n_r)$  (a  $D_i$  rákövetkezőinek indexeit tartalmazó lista), és  $\delta_{i-1}$  legyen azon  $F_{i-1}$ -beli taszkok halmaza, amelyeknek nincs közvetlen megelőzőjük  $F_{i-1}$ -ben. Ekkor  $\delta_{i-1}$  elemeinek indexei jelen vannak  $\overline{D}_i$ -ban, hiszen ezek az elemek  $D_i$  közvetlen rákövetkezői.  $F_{i-1}$  azon elemeinek indexei, amelyek nem tartoznak  $\delta_{i-1}$ -hez, nincsenek jelen  $\overline{D}_i$ -ban, mivel a megelőzési gráfban nincsenek redundáns élek.  $F_{i-1}$  elemeinek indexei nem kisebbek  $C(D_{i-1})$ -nél, viszont  $F_{i-2}, \dots, F_0$  elemeinek indexei és a  $J_{i-1}, \dots, J_0$  taszkok indexei a 3.1. lemma szerint kisebbek  $C(D_{i-1})$ -nél, ezért  $\delta_{i-1}$  elemeinek indexei az első  $|\delta_{i-1}|$  helyet foglalják el  $\overline{D}_i$ -ban. Mivel  $C(Q) > C(D_i)$ , ezért  $\overline{D}_i \leq \overline{Q}$ , ezért nem üres  $\overline{D}_i$  esetén  $\overline{Q}$  sem lehet üres lista. Mindez csak úgy lehetséges, hogy  $Q$  közvetlen megelőzője  $\delta_{i-1}$  valamennyi elemének; ekkor viszont  $Q$  megelőzője  $F_{i-1}$  valamennyi elemének, ami ellentmond  $R$  választásának.

b) Ha  $Q$ -nak van rákövetkezője  $F_i$ -ben, akkor van olyan  $Z$  rákövetkezője is, amelynek már nincs rákövetkezője  $F_i$ -ben. Ekkor a már bizonyított a) rész szerint  $Z$  megelőzi  $F_{i-1}$  bármely elemét, és így a megelőzés tranzitivitása miatt  $Q$  is megelőzi  $F_{i-1}$  minden elemét, azaz  $R$ -et is. Ez az ellentmondás teljessé teszi a lemma bizonyítását.

A 3.3. lemma segítségével bizonyítható GLEV optimalitása.

**3.2. tétel.** Ha egységnyi végrehajtási idejű, megszakíthatatlan taszkokat tartalmazó taszkrendszert két azonos processzorra a GLEV algoritmussal ütemezünk, akkor a maximális befejezési idő minimális lesz.

**Bizonyítás.** Legyen  $S_{\text{GLEV}}(\tau)$  a GLEV algoritmussal kapott ütemezés, és  $F_0, \dots, F_k$  az ütemezéshez tartozó követőhalmazok. Ekkor a 3.3. lemma szerint  $F_i$  bármely eleme megelőzi  $F_{i-1}$  bármely elemét ( $i = 1, \dots, k$ ), és így az  $F_{i-1}$ -beli taszkok végrehajtása csak az  $F_i$ -beli taszkok végrehajtásának befejezése után kezdődhet el. A követő halmazok definíciója szerint ezen halmazok elemszáma páratlan. Legyen

$F_i$  elemszáma  $2m_i - 1$ . Ekkor  $F_i$  elemeinek két processzoron való végrehajtásához legalább  $m_i$  időegységre van szüksége bármely algoritmusnak, azaz  $F_{\max}(S_A(\tau)) \geq \sum_{i=1}^k m_i$  bármely A algoritmus esetén. Mivel  $F_{\max}(S_{\text{GLEV}}(\tau)) = \sum_{i=1}^k m_i$ , így GLEV valóban minimalizálja  $F_{\max}$  értékét.

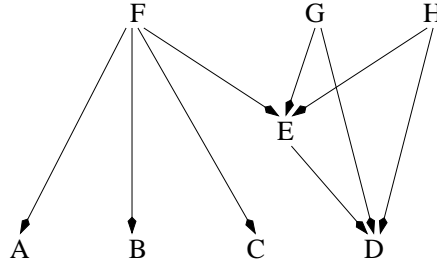
A tétellel kapcsolatban vizsgáljuk meg azt a taszkrendszert, amelyben  $\mathbf{T} = \{A, B, C, D, E, F, G, H\}$ , és  $\leq = \{(E,D), (F,A), (F,B), (F,C), (F,E), (G,D), (G,E), (H,D), (H,E)\}$ . GLEV szerint az indexek például ábécésorrendben rendelhetők a taszkokhoz, és akkor a 3.9. ábra bal oldalán szereplő Gantt-diagram szerint  $F_{\max}(S_{\text{GLEV}}(\tau)) = 5$ , szemben a jobb oldalon bemutatott  $F_{\max}(S_{\text{OPT}}(\tau)) = 4$  értékkel.

$P_1$	H	F	E	D	B
$P_2$	G	-	-	C	A

$P_1$	F	G	E	D
$P_2$	H	C	A	B

3.9. ábra. A GLEV algoritmussal kapott ütemezés, és egy optimális ütemezés

A bal oldali ütemezést úgy kaptuk, hogy a taszkrendszer gráfját a 3.10. ábrán láthatónak tételeztük fel. A példa nem mond ellent a 3.2. tételnek, ugyanis a 3.10.



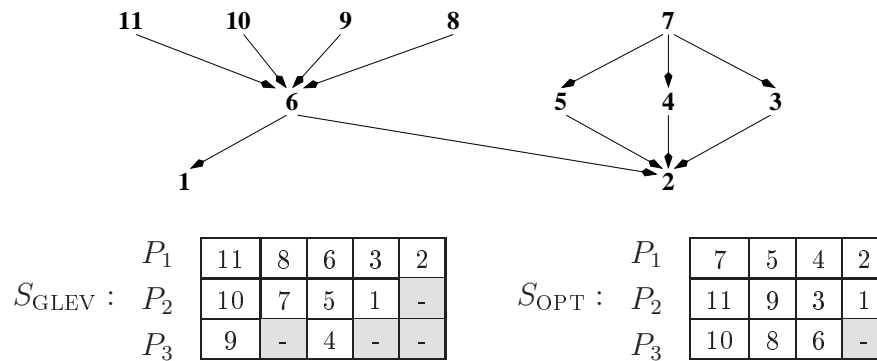
3.10. ábra. A taszkrendszer redundáns éleket tartalmazó gráfja

ábrán lévő gráf a redundáns  $(H,D)$  és  $(G,D)$  éleket is tartalmazza, ami miatt az indexelés hibás lett. A két élt elhagyva GLEV optimális megoldást ad.

A 3.11. ábrán bemutatott taszkrendszer azt mutatja, hogy például három processzor esetén GLEV nem garantálja  $F_{\max}$  optimális értékét: az ábra szerint az általános szintes algoritmus alkalmazása esetén 5, míg optimális esetben csak 4 időegység kell a taszkrendszer végrehajtásához.

### 3.4. Független feladatok

Ebben a pontban a következő ütemezési problémát vizsgáljuk:  $\pi = (\rho, \tau, \mu)$ , ahol  $\rho = (\mathbf{P})$ ,  $\mathbf{P} = \{P_1, \dots, P_m\}$ ,  $\tau = (\mathbf{T}, \mathbf{t})$ ,  $\mathbf{T} = \{T_1, \dots, T_n\}$ ,  $\mathbf{t} = (t_1, \dots, t_n)$ , a processzorok azonosak, a taszkok megszakíthatóak,  $\mu = F_{\max} \downarrow$ .



3.11. ábra.

Taszkrendszer 3-processzoros ütemezéshez; a GLEV algoritmussal kapott ütemezés, és egy optimális ütemezés

Legyen a végrehajtási idők összege  $X$ . Mivel a legkedvezőbb eset az állásidő nélküli ütemezés lenne, így tetszőleges  $A$  ütemezési algoritmus esetén fennáll  $F_{\max}(S_A) \geq \frac{X}{m}$ .

Legyen  $t_{\max} = \max_{1 \leq i \leq n} t_i$ . Mivel egy feladat végrehajtásán egyidejűleg legfeljebb egy processzor dolgozhat, ezért tetszőleges  $A$  ütemezési algoritmus esetén fennáll  $F_{\max}(S_A) \geq t_{\max}$ .

**3.4. algoritmus (CONT).** A fenti jelöléseket használja a „folytonos” algoritmus:

- 1. lépés.** Legyen  $F = \max(t_{\max}, \frac{X}{m})$ , és ütemezzük a  $T_1$  taszkot a  $P_1$  processzorra a  $[0, t_1]$  intervallumban.
- 2. lépés.** Ha minden taszkot ütemeztünk, akkor STOP.
- 3. lépés.** Tegyük fel, hogy eddig a  $T_1, \dots, T_{i-1}$  taszkokat ütemeztük, és hogy a  $P_1, \dots, P_{j-1}$  processzorok teljesen (a  $[0, F]$  intervallumban) foglaltak, a  $P_j$  processzor pedig csak részben foglalt (a  $[0, f]$  intervallumban, ahol  $0 \leq f < F$ ).
- 4. lépés.** Ha  $t_i \leq F - f$ , akkor ütemezzük  $T_i$ -t  $P_j$ -re, az  $[f, f + t_i]$  intervallumban, egyébként pedig ütemezzük  $T_i$   $F - f$  végrehajtási idejű  $T''$  részét  $P_j$ -re az  $[f, F]$  intervallumban, és  $t_i - (F - f)$  végrehajtási idejű  $T'$  részét  $P_{j+1}$ -re a  $[0, t_i - F + f]$  intervallumban.

**3.3. tétel.** Ha független, megszakítható taszkokat azonos processzorokra CONT segítségével ütemezünk, akkor  $F_{\max}$  minimális lesz, értéke pedig  $F_{\max}(S_{\text{CONT}}) = \max(t_{\max}, \frac{X}{m})$ .

**Bizonyítás.** a) Mivel tetszőleges  $A$  ütemezési algoritmus esetén  $F_{\max}(S_A) \geq t_{\max}$  és  $F_{\max}(S_A) \geq \frac{X}{m}$ , így  $F_{\max}(S_A) \geq F = \max(t_{\max}, \frac{X}{m})$ .

b) CONT ezt az okvetlenül szükséges értéket biztosítja, mivel egyrészt  $F$  elég nagy ahhoz, hogy CONT szerint egy taszkon egyszerre legfeljebb egy processzor dolgozzon ( $T'$  és  $T''$  sávjai ne fedjék át egymást), másrészt  $F$  elég nagy ahhoz, hogy  $T_n$  is időben befejeződjék ( $T_n$  sávja ne „lógjon ki”).

Mit mondhatunk a megszakítások számáról, ha ragaszkodunk  $F_{\max}$  minimális értékéhez? *Megszakításról* akkor beszélünk, ha egy  $T$  taszkot egy  $P$  processzoron elkezdünk végrehajtani, és a végrehajtást adott  $t$  időpontban annak ellenére felfüggesztjük, hogy a taszkot még nem fejeztük be. Egy  $T$  taszk egy adott  $t$  időpontban *aktív*, ha van olyan  $P$  processzor, amelyik a  $t$  időpontban éppen a  $T$  taszk végrehajtását végzi.

Tekintsük például azt a taszkrendszert, amelynek futási időit az  $(1, 2, 3, 4, 5, 6)$  vektor tartalmazza, és  $m = 3$  processzorunk van? A CONT algoritmus  $F_{\max}(S_{\text{CONT}}) = \max(t_{\max}, \frac{X}{m}) = \max(6, 21/3 = 7)$  időegység alatt hajtja végre a hat taszkot, és közben két megszakítást okoz. Ugyanakkor az 1 és 6, a 2 és 5, valamint a 3 és 4 futási idejű taszkokat párosítva a 6 taszk megszakítás nélkül is végrehajtható.

Általában azt mondhatjuk, hogy a CONT egyrészt minden taszkot legfeljebb egyszer szakít meg, másrészt minden processzoron legfeljebb egy megszakítást okoz. Sőt az is igaz, hogy CONT legfeljebb  $m - 1$  megszakítást okoz, mivel az első processzoron soha nem okoz megszakítást, továbbá legfeljebb  $n - 2$  megszakítást okoz, mivel az első processzoron elkezdett és az utolsó processzoron befejezett taszkot biztosan nem szakítja meg.

Érdekes ezzel kapcsolatban a következő tétel, amely azt mutatja, hogy  $m - 1$  a lehető legjobb korlát.

**3.4. tétel.** Legyen  $S_{\text{CONT}}$  egy  $n$  független taszkból álló taszkrendszer CONT által előállított ütemezése  $m$  azonos processzoron. Ekkor

- $S_{\text{CONT}}$  legfeljebb  $m - 1$  megszakítást tartalmaz;
- $m - 1$  a lehető legjobb korlát, mert minden  $m \geq 1$  processzorszámhoz van olyan taszkrendszer, amelyet minden olyan algoritmus legalább  $m - 1$  megszakítással hajt végre, amelyik biztosítja, hogy  $F_{\max}$  minimális legyen.

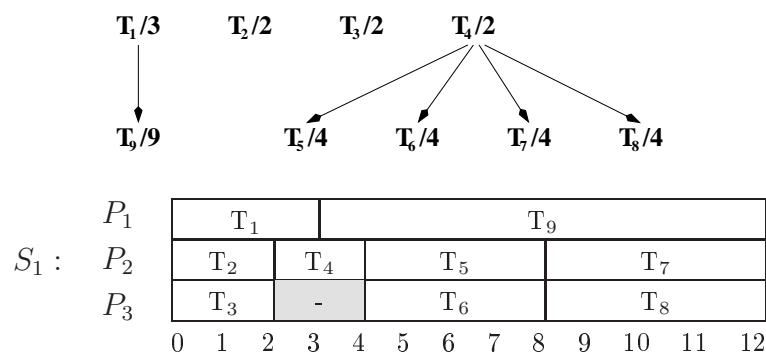
**Bizonyítás.** CONT szerint minden taszk legfeljebb két részben hajtódik végre. Ha két részben, akkor legfeljebb két aktív periódusban és két szomszédos processzoron úgy, hogy a megszakítás a nagyobb indexű processzoron lesz, ezért CONT ütemezésében az első processzoron biztosan nincs megszakítás, a többi processzoron pedig legfeljebb egy van. Ezzel a tétel első állítását beláttuk.

Tekintsünk egy olyan taszkrendszert, amelyben a taszkok száma eggyel nagyobb, mint a processzorok száma, azaz legyen  $n = m + 1$ , a taszkok végrehajtási ideje pedig legyen  $m$ . Tegyük fel, hogy egy A algoritmus ütemezésében legfeljebb  $m - 2$  megszakítás van. Akkor lesz legalább két olyan processzor (legyenek ezek például  $P_1$  és  $P_2$ ), amelyeken egyáltalán nincs megszakítás. Mivel minden taszk hossza egységesen  $m$ , ezért ezen a két processzoron a  $[0, m]$  intervallumban folyik egy-egy taszk (legyenek ezek a  $T_1$  és  $T_2$  taszkok) végrehajtása. CONT ütemezése alapján tudjuk, hogy az optimális ütemezésben nincs üres periódus, ezért ezek a processzorok az  $[m, m + 1]$  intervallumban is dolgoznak. Tegyük fel, hogy a  $[t, t']$  intervallumban (ahol  $m < t < t' < m + 1$ ) egyik a  $T_3$ , másik a  $T_4$  taszkot hajtja végre. Ekkor a többi  $m - 2$  processzornak csak  $m + 1 - 4 = m - 3$  taszk marad, ami kevés. Így lesz a Gantt-diagramban üres periódus, az ütemezés nem lesz optimális, ami ellentmondás.

### 3.5. Ütemezési anomáliák I.

Ebben a pontban azt mutatjuk be, hogy egy ütemezési probléma „könnyítése” is kiválthatja a hatékonysági jellemzők romlását.

**3.1. példa.** Tekintsük az alábbi  $\tau_1$  taszkrendszert, és annak az  $L = (T_1, \dots, T_9)$  listával kapott  $S_1$  ütemezését három ( $m = 3$ ) azonos processzoron. Ekkor (3.12. ábra)  $F_{\max}(S_1) = 12$ , amiről könnyen belátható, hogy optimális érték.



3.12. ábra. A  $\tau_1$  taszkrendszer, és annak optimális ütemezése

**3.2. példa.** Ütemezzük az előbbi  $\tau_1$  taszkrendszert  $m = 3$  azonos processzorra az  $L' = (T_1, T_2, T_4, T_5, T_6, T_3, T_9, T_7, T_8)$  listával. Ekkor a kapott  $S_2$  ütemezésre (3.13. ábra)  $F_{\max}(S_2) = 14$ .

**3.3. példa.** Ütemezzük a  $\tau_1$  taszkrendszert az  $L$  listával  $m' = 4$  processzorra. Az eredmény  $F_{\max}(S_3) = 15$  (ld. 3.14. ábra).

$P_1$	T <sub>1</sub>		T <sub>3</sub>		T <sub>9</sub>										
$S_2 : P_2$	T <sub>2</sub>	T <sub>5</sub>				T <sub>7</sub>			-						
$P_3$	T <sub>4</sub>	T <sub>6</sub>			T <sub>8</sub>			-							
	0	1	2	3	4	5	6	7	8	9	10	11	13	12	14

3.13. ábra. A  $\tau_1$  taszkrendszer ütemezése az  $L'$  lista esetén

$P_1$	T <sub>1</sub>		T <sub>5</sub>				-									
$S_3 : P_2$	T <sub>2</sub>	T <sub>6</sub>				T <sub>9</sub>										
$P_3$	T <sub>3</sub>	T <sub>7</sub>				-										
$P_4$	T <sub>4</sub>	T <sub>8</sub>				-										
	0	1	2	3	4	5	6	7	8	9	10	11	13	12	14	15

3.14. ábra.  $\tau_1$  ütemezése az  $L$  listával  $m' = 4$  processzorra

**3.4. példa.** Csökkentsük  $\tau_1$ -ben a végrehajtási időket eggyel. Ütemezzük az így kapott  $\tau_2$  taszkrendszert az  $L$  listával  $m = 3$  processzorra. Az eredmény:  $F_{\max}(S_4) = 13$  (ld. 3.15. ábra).

$P_1$	T <sub>1</sub>		T <sub>5</sub>			T <sub>8</sub>		-						
$S_4 : P_2$	T <sub>2</sub>	T <sub>4</sub>	T <sub>6</sub>			T <sub>9</sub>								
$P_3$	T <sub>3</sub>	-	T <sub>7</sub>			-								
	0	1	2	3	4	5	6	7	8	9	10	11	12	13

3.15. ábra.  $\tau_2$  ütemezése az  $L$  listával  $m = 3$  processzorra

**3.5. példa.** Enyhítsük a  $\tau_1$  taszkrendszerben a precedencia-korlátozásokat: hagyjuk el a  $(T_4, T_5)$  és a  $(T_4, T_6)$  éleket a gráfból. Az így kapott  $\tau_3$  taszkrendszer  $S_5$  ütemezésének eredménye a 3.16. ábrán látható:  $F_{\max}(S_5) = 16$ .

A következő példa azt mutatja, hogy  $F_{\max}$  növekedése nem csak a lista rossz megválasztása miatt következhet be.

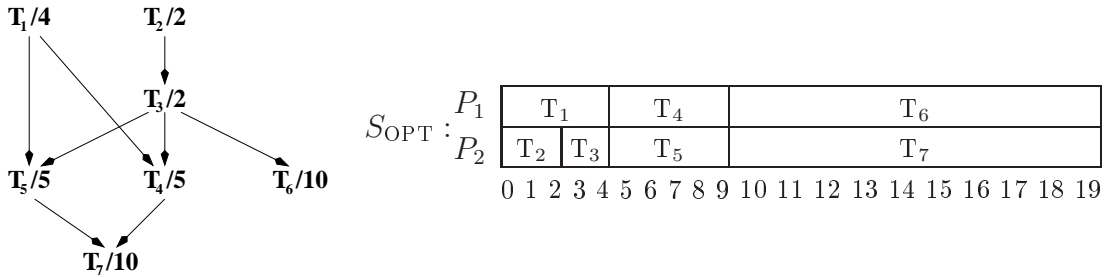
**3.6. példa.** Legyen a  $\tau$  taszkrendszer és annak  $S_{\text{OPT}}$  optimális ütemezése a 3.17. ábra szerinti. Ekkor  $F_{\max}(S_{\text{OPT}}) = 19$ .

Könnyen belátható, hogy ha most a végrehajtási időket 1-gyel csökkentjük, akkor a kapott  $\tau'$  taszkrendszeren  $F_{\max}(S_6) = 20$  értéknél egyetlen listával sem érhetünk el jobbat (3.21. ábra).



$$S_5 : \begin{array}{l} P_1 \\ P_2 \\ P_3 \end{array} : \begin{array}{|c|c|c|c|c|c|c|c|c|c|c|c|c|c|c|c|} \hline & \text{T}_1 & & & \text{T}_6 & & & & \text{T}_9 & & & & & & & & \\ \hline & \text{T}_2 & & \text{T}_4 & & \text{T}_7 & & & - & & & & & & & & \\ \hline & \text{T}_3 & & & \text{T}_5 & & & \text{T}_8 & & & - & & & & & & \\ \hline 0 & 1 & 2 & 3 & 4 & 5 & 6 & 7 & 8 & 9 & 10 & 11 & 12 & 13 & 14 & 15 & 16 \end{array}$$

3.16. ábra. A  $\tau_3$  taszkrendszer ütemezése  $m = 3$  processzorra



3.17. ábra. A  $\tau$  taszkrendszer, és annak  $S_{OPT}$  ütemezése két processzoron

$$S_6 : \begin{array}{l} P_1 \\ P_2 \end{array} : \begin{array}{|c|c|c|c|c|c|c|c|c|c|c|c|c|c|c|c|} \hline & \text{T}_1 & & & \text{T}_4 & & \text{T}_5 & & & & \text{T}_7 & & & & & & \\ \hline & \text{T}_2 & \text{T}_3 & & & \text{T}_6 & & & & & - & & & & & & \\ \hline 0 & 1 & 2 & 3 & 4 & 5 & 6 & 7 & 8 & 9 & 10 & 11 & 12 & 13 & 14 & 15 & 16 & 17 & 18 & 19 & 20 \end{array}$$

3.18. ábra. A  $\tau'$  taszkrendszer optimális listás ütemezése

Ezen példák után az ütemezési paraméterek hatását jellemző relatív korlátot adunk meg. Tegyük fel, hogy adott  $\tau$  és  $\tau'$  taszkrendszerekre  $\mathbf{T}' = \mathbf{T}$ ,  $\langle' \subseteq \langle$ ,  $\mathbf{t}' \leq \mathbf{t}$ . A  $\tau$  taszkrendszert egy  $L$ , a  $\tau'$  taszkrendszert pedig egy  $L'$  lista alkalmazásával ütemezzük — mégpedig előbbit  $m$ , utóbbit pedig  $m'$  azonos processzorra. Az így kapott  $S$ , illetve  $S'$  ütemezésekre legyen  $F_{\max}(S) = F$  és  $F_{\max}(S') = F'$ .

**3.5. tétel.** A fenti feltételek mellett  $\frac{F'}{F} \leq 1 + \frac{m-1}{m'}$ .

**Bizonyítás.** Tekintsük a vesszős paraméterekhez ( $S'$ -höz) tartozó  $D'$  ütemezési diagramot. Legyen a  $[0, F')$  intervallum pontjainak két –  $A$  és  $B$  – részhalmazának definíciója a következő:  $A = \{t \in [0, F) \mid \text{a } t \text{ időpontban minden processzor foglalt}\}$ ,  $B = [0, F) \setminus A$ . Érdeemes megemlíteni, hogy mindkét halmaz diszjunkt, félig nyílt (balról zárt, jobbról nyílt) intervallumok uniója.

Legyen  $T_{j_1}$  egy olyan taszk, melynek a végrehajtása  $D'$  szerint az  $F'$  időpontban

fejeződik be (azaz  $f_{j_1} = F'$ ). Ekkor két lehetőség van: a  $T_{j_1}$  taszk  $s_{j_1}$  kezdőpontja vagy  $B$  belső pontja, vagy nem az.

1. Ha  $s_{j_1}$   $B$  belső pontja, akkor  $B$  definíciója szerint van olyan processzor, amelyre  $\varepsilon > 0$  mellett igaz, hogy az  $[s_{j_1} - \varepsilon, s_{j_1})$  intervallumban nem dolgozik. Ez azonban csak úgy fordulhat elő, ha van olyan  $T_{j_2}$  taszk, amelyre  $T_{j_2} < T_{j_1}$  és  $f_{j_2} = s_{j_1}$  (a eset).
2. Ha  $s_{j_1}$  nem belső pontja  $B$ -nek, akkor vagy  $s_{j_1} = 0$  (b eset), vagy  $s_{j_1} > 0$ . Ha van  $B$ -nek  $s_{j_1}$ -nél kisebb eleme (c eset), akkor legyen  $x_1 = \sup\{x \mid x < s_{j_1} \text{ és } x \in B\}$ , egyébként pedig legyen  $x_1 = 0$  (d eset). Ha  $x_1 > 0$ , akkor  $A$  és  $B$  konstrukciójából következik, hogy van olyan processzor, amelyhez talaálható olyan  $T_{j_2}$  taszk, amelynek ebben az intervallumban még tart a végrehajtása, és amelyre  $T_{j_2} < T_{j_1}$ .

A két esetet összegezve tehát vagy van olyan  $T_{j_2} < T_{j_1}$  taszk, amelyre  $y \in [f_{j_2}, s_{j_1})$  esetén  $y \in A$  (a vagy c eset), vagy pedig minden  $x < s_{j_1}$  számra  $x \in A$  és  $x < 0$  egyike fennáll (a vagy d eset).

Ezt az az eljárást ismételve olyan  $T_{j_r}, T_{j_{r-1}}, \dots, T_{j_1}$  taszklánchoz jutunk, amelyre igaz, hogy  $x < s_{j_r}$  esetén vagy  $x \in A$  vagy  $x < 0$ . Ezzel megmutattuk, hogy léteznek olyan taszkok, amelyekre

$$(3.1) \quad T_{j_r} <' T_{j_{r-1}} <' \dots <' T_{j_1},$$

továbbá minden  $t \in B$  időpontban van olyan processzor, amelyik dolgozik, és éppen a lánc valamelyik elemét hajtja végre. Ebből következik, hogy

$$(3.2) \quad \sum_{\phi \in S'} t'(\phi) \leq (m' - 1) \sum_{k=1}^r t'_{j_k},$$

ahol  $\phi$ -vel az üres periódusokat jelöltük, és így a baloldali összeg az  $S'$ -ben lévő összes üres periódusra vonatkozik.

(3.1) és  $<' \subseteq <$  alapján  $T_{j_r} < T_{j_{r-1}} < \dots < T_{j_1}$ , és így

$$(3.3) \quad F \geq \sum_{k=1}^r t_{j_k} \geq \sum_{k=1}^r t'_{j_k}.$$

Mivel

$$(3.4) \quad mF \geq \sum_{i=1}^n t_i \geq \sum_{i=1}^n t'_i,$$

$$\text{és } F' = \frac{1}{m'} \left( \sum_{k=1}^n t'_k + \sum_{\phi \in S'} t'(\phi) \right), \text{ így (3.2), (3.3) és (3.4) alapján}$$

$$F' \leq \frac{1}{m'} (mF + (m' - 1)F), \text{ ahonnan } \frac{F'}{F} \leq 1 + \frac{m' - 1}{m'}.$$

A következő példák nemcsak azt mutatják meg, hogy a tételben szereplő korlát a lehető legjobb, hanem azt is, hogy az adott korlát (legalábbis aszimptotikusan) a paraméterek bármelyikének változtatásával elérhető.

### 3.6. Ütemezési anomáliák II.

**3.7. példa.** Ebben a példában a lista változik, < üres,  $m$  tetszőleges. A végrehajtási idők a következők:

$$t_i = \begin{cases} 1, & \text{ha } i = 1, \dots, m-1; \\ m, & \text{ha } i = m; \\ m-1, & \text{ha } i = m+1, \dots, 2m-1. \end{cases}$$

Ha ezt a  $\tau_4$  taszkrendszert  $m$  processzorra az  $L = (T_1, \dots, T_n)$  listával ütemezzük, akkor a 3.19. ábrán lévő  $S_7(\tau_4)$  optimális ütemezést kapjuk.

$$S_7 : \begin{array}{|c|c|} \hline T_1 & T_{m+1} \\ \hline T_2 & T_{m+2} \\ \hline \vdots & \vdots \\ \hline T_{m-1} & T_{2m-1} \\ \hline & T_m \\ \hline \end{array}$$

3.19. ábra. Az  $L = (T_1, \dots, T_n)$  listához tartozó  $S_7(\tau_4)$  ütemezés

Ha az  $L$  lista helyett az  $L' = (T_{m+1}, \dots, T_{2m-1}, T_1, \dots, T_{m-1}, T_m)$  listát alkalmazzuk, akkor a 3.20. ábrán látható  $S_8(\tau_4)$  ütemezést kapjuk. Ebben az esetben  $F = F_{\max}(S_7) = m$ ,  $F' = F_{\max}(S_8) = 2m - 1$ , így  $\frac{F'}{F} = 2 - \frac{1}{m}$ ; tehát a lista változtatásával elértük, hogy a tétel állításában az egyenlőség teljesüljön, vagyis a  $\leq$  jel jobb oldalán szereplő kifejezés nem csökkenthető.

**3.8. példa.** Ebben a példában a végrehajtási időket csökkentjük. A lista mindkét esetben az  $L = L' = (T_1, \dots, T_n)$ . Itt és a fejezet további részében  $\varepsilon$  tetszőleges kis pozitív számot jelöl. Az eredeti végrehajtási időket a  $\mathbf{t} = (t_1, \dots, t_n)$  vektor

$$S_8 :$$

T <sub>m+1</sub>				T <sub>m</sub>
T <sub>m+2</sub>				-
⋮				⋮
T <sub>2m-1</sub>				-
T <sub>1</sub>	T <sub>2</sub>	⋯	T <sub>m-1</sub>	-

3.20. ábra. Az  $L'$  listához tartozó  $S_8(\tau_4)$  ütemezés

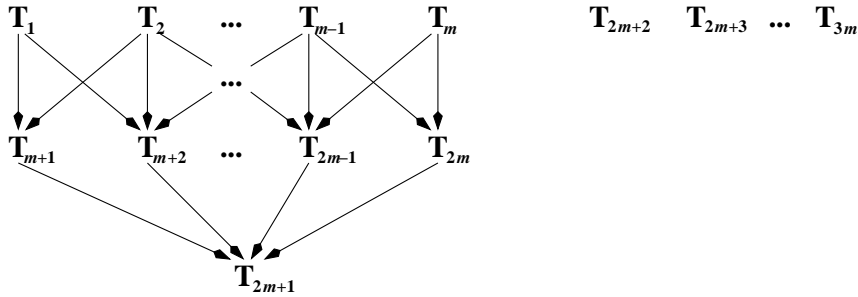
tartalmazza, ahol

$$t_i = \begin{cases} 2, \varepsilon & \text{ha } i = 1, \dots, m; \\ 1, & \text{ha } i = m + 1, \dots, 2m; \\ m - 1, & \text{ha } i = 2m + 1, \dots, 3m. \end{cases}$$

Az új végrehajtási idők pedig:

$$t'_i = \begin{cases} t_i - \varepsilon, & \text{ha } i = 1, \dots, m - 1; \\ t_i, & \text{ha } i = m, \dots, 3m. \end{cases}$$

A  $\tau_5$ , illetve a módosított  $\tau'_5$  taszkrendszer megelőzési gráfját a 3.21. ábra mutatja, az  $S_9(\tau_5)$  (optimális) ütemezés és az  $S_{10}(\tau'_5)$  ütemezés pedig a 3.22. ábrán látható. Itt

3.21. ábra.  $\tau_5$  és  $\tau'_5$  azonos gráfja

$F = F_{\max}(S_9(\tau_5)) = m + 2\varepsilon$  és  $F' = F_{\max}(S_{10}(\tau'_5)) = 2m - 1 + \varepsilon$ , ezért  $\varepsilon$  csökkenésével  $\frac{F'}{F}$  tart a  $2 - \frac{1}{m}$  értékhez ( $\lim_{\varepsilon \rightarrow 0} \frac{F'}{F} = 2 - \frac{1}{m}$ ). Tehát a végrehajtási időket változtatva tetszőlegesen megközelíthetjük a tételben szereplő korlátot.

**3.9. példa.** Ebben a példában a megelőzési korlátozásokat gyengítjük. A  $\tau_6$  taszkrendszer megelőzési gráfját a 3.23. ábra mutatja. A taszkok végrehajtási ideje pedig:  $t_1 = \varepsilon$ ,  $t_i = 1$ , ha  $i = 1, \dots, m^2 - m + 1$ , és  $t_{m^2 - m + 2} = m$ .  $\tau_6$ -nak az

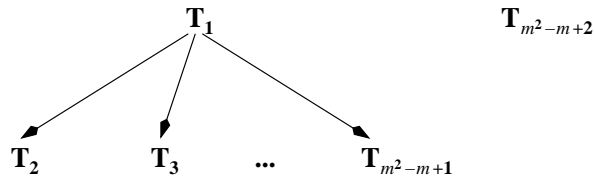
$$S_9 :$$

$T_1$	$T_{m+1}$	$T_{2m+1}$
$T_2$	$T_{m+2}$	$T_{2m+2}$
$\vdots$	$\vdots$	$\vdots$
$T_{m-1}$	$T_{2m-1}$	$T_{3m-1}$
$T_m$	$T_{2m}$	$T_{3m}$

$$S_{10} :$$

$T_1$	$T_{2m}$	$T_{2m-1}$	$T_{2m+1}$
$T_2$	$T_{2m+3}$	-	
$\vdots$	$\vdots$	$\vdots$	
$T_{m-1}$	$T_{3m}$	-	
$T_m$	$T_{m+1}$	$\dots$	$T_{2m-1}$
			-

3.22. ábra. Az  $S_9(\tau_5)$  és  $S_{10}(\tau'_5)$  ütemezések



3.23. ábra. A  $\tau_6$  taszkrendszer gráfja

$L = (T_1, \dots, T_{m^2-m+2})$  listához tartozó, optimális  $S_{11}(\tau_6)$  ütemezését a 3.24. ábra tartalmazza. Az összes megelőzési korlátozás elhagyásával kapjuk  $\tau_6$ -ból a  $\tau'_6$  taszkrendszert. A 3.25. ábra mutatja az  $S_{12}(\tau'_6)$  ütemezést.

$$S_{11} :$$

$T_1$	$T_2$	$T_{m+1}$	$\dots$	$T_{m^2-2m+2}$
$T_{m^2-m+2}$				-
-	$T_3$	$T_{m+2}$	$\dots$	$T_{m^2-2m+3}$
$\vdots$	$\vdots$	$\vdots$	$\ddots$	$\vdots$
-	$T_m$	$T_{2m-1}$	$\dots$	$T_{m^2-m+1}$

3.24. ábra. Az  $S_{11}(\tau_6)$  optimális ütemezés

**3.10. példa.** Ezúttal a processzorok számát növeljük:  $m$ -ről  $m'$ -re. A  $\tau_7$  taszkrend-

$$S_{12} :$$

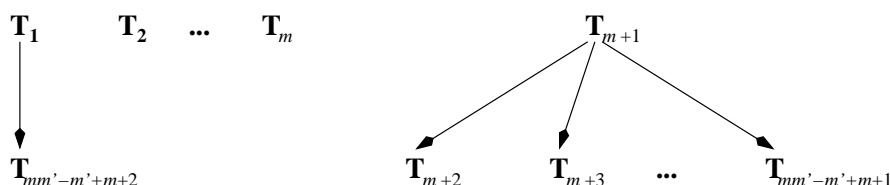
$T_1$	$T_{m+1}$	$\dots$	$T_{m^2-m+1}$	-
$T_2$	$T_{m+2}$	$\dots$	$T_{m^2-m+2}$	
$T_3$	$T_{m+3}$	$\dots$	-	-
$\vdots$	$\vdots$	$\ddots$	$\vdots$	$\vdots$
$T_{m-1}$	$T_{2m+1}$	$\dots$	-	-
$T_m$	$T_{2m}$	$\dots$	-	-

3.25. ábra. Az  $S_{12}(\tau'_6)$  ütemezés

szer gráfját a 3.26. ábra mutatja, a végrehajtási idők pedig:

$$t_i = \begin{cases} \varepsilon, & \text{ha } i = 1, \dots, m+1; \\ 1, & \text{ha } i = m+2, \dots, mm' - m' + m + 1; \\ m', & \text{ha } i = mm' - m' + m + 2. \end{cases}$$

A taszkrendszer optimális ütemezését  $m$ , illetve  $m'$  processzoron a 3.27. illetve a 3.28. ábra mutatja. A maximális befejezési időket összehasonlítva itt is a kívánt aszimptotikus értéket kapjuk:  $F = F_{\max}(S_{13}(\tau_7)) = m' + 2\varepsilon$ ,  $F' = F_{\max}(S_{14}(\tau_7)) = m' + m - 1 + \varepsilon$ , így  $\frac{F'}{F} = 1 + \frac{m-1-\varepsilon}{m'+2\varepsilon}$ , valamint  $\lim_{\varepsilon \rightarrow 0} \frac{F'}{F} = \frac{F'}{F} = 1 + \frac{m-1}{m'}$ .

3.26. ábra.  $\tau_7$  rákövetkezési gráfja
$$S_{13} :$$

$T_1$	$T_{m+1}$	$T_{m+2}$	$\dots$	$T_a$
$T_2$	$T_{mm'-m'+2}$			-
$T_3$	-	$T_{m+3}$	$\dots$	$T_b$
$\vdots$	$\vdots$	$\vdots$	$\ddots$	$\vdots$
$T_m$	-	$T_{2m}$	$\dots$	$T_c$

3.27. ábra.

Az  $S_{13}(\tau_7)$  optimális ütemezés ( $a = mm' - m' + 3$ ,  $b = a + 1$ ,  $c = mm' - m' + m + 1$ )

$$S_{14} :$$

$T_1$	$T_{m+2}$	$\cdots$	$T_a$	$T_{mm'-m'+m+2}$
$T_2$	$T_{m+3}$	$\cdots$	$T_{a+1}$	-
$\vdots$	$\vdots$	$\ddots$	$\vdots$	$\vdots$
$T_b$	$T_c$	$\cdots$	$T_d$	-
-	$\vdots$	$\ddots$	$\vdots$	$\vdots$
-	$T_e$	$\cdots$	$T_f$	-

3.28. ábra.

Az  $S_{14}(\tau_7)$  optimális ütemezés ( $a = mm' - 2m' + m + 2$ ,  $b = m + 1$ ,  $c = 2m + 2$ ,  
 $d = mm' - 2m' + 2m + 2$ ,  $e = m + m' + 1$ ,  $f = mm' - m' + m + 1$ )

Ezekkel a példákkal bebizonyítottuk a következő tételt.

**3.6. tétel.** A 3.4. tételben szereplő korlát a négy paraméter ( $t$ ,  $m$ ,  $<$ ,  $L$ ) bármelyikének a változtatásával tetszés szerinti pontossággal megközelíthető.